

Figura 8.1. Espectres de RMN de ^1H i ^{13}C de l'àcid 4'-(5-hexenoxi)-4-bifenilcarboxílic (**1a**) en DMSO-d_6 .

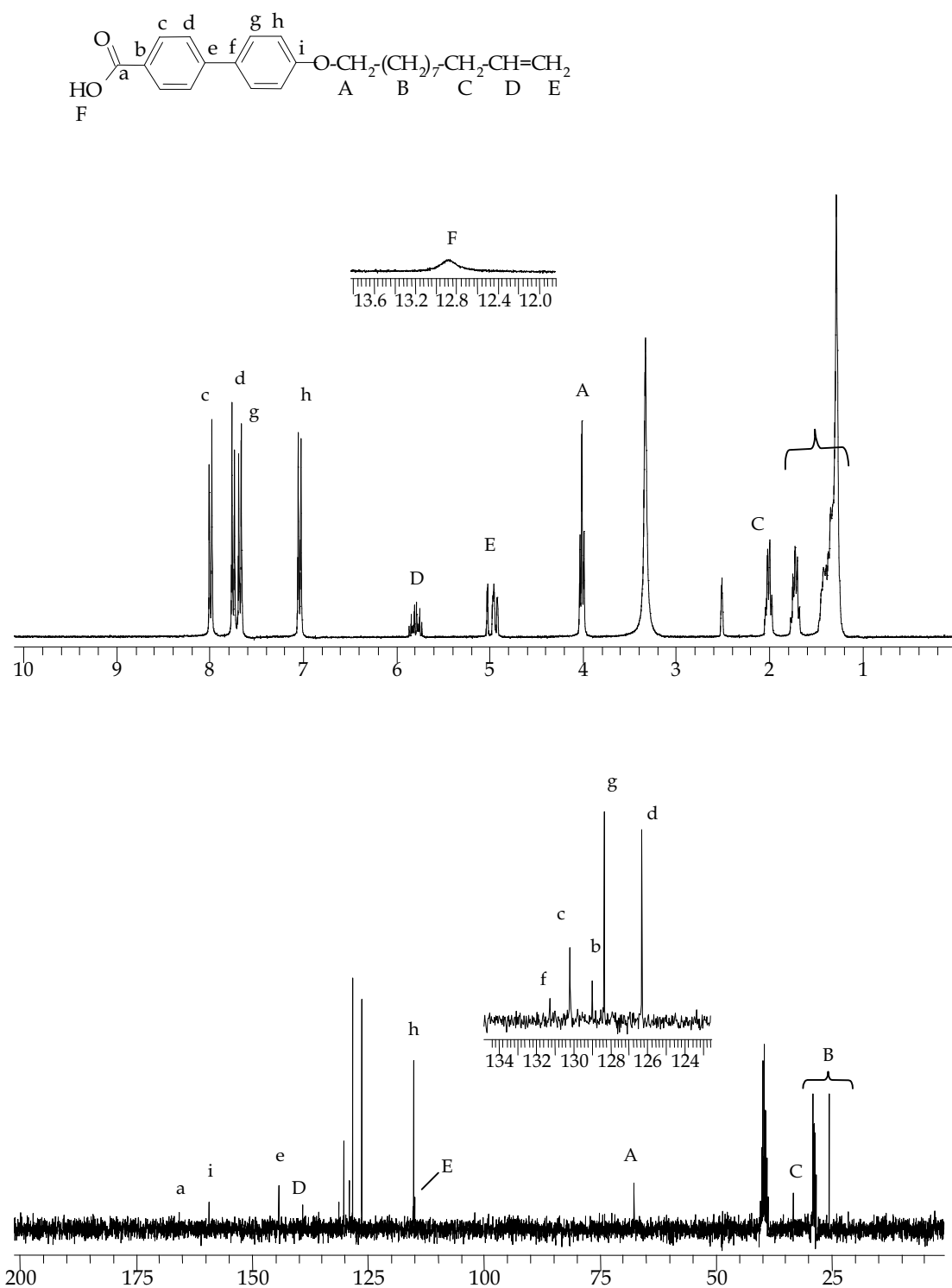


Figura 8.2. Espectres de RMN de ^1H i ^{13}C de l'àcid 4'-(10-undecenoxi)-4-bifenilcarboxílic (**1b**) en DMSO-d_6 .

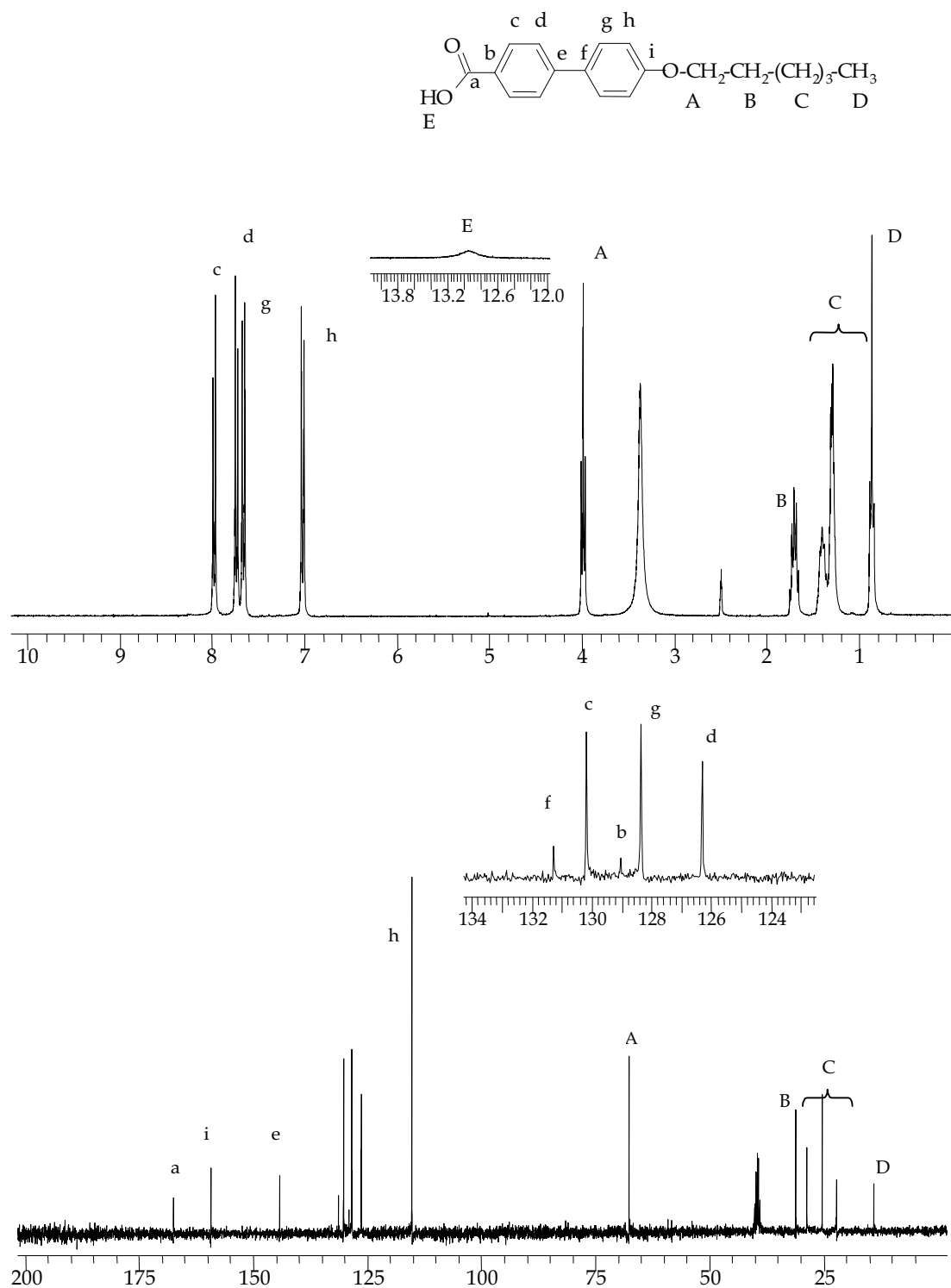


Figura 8.3. Espectres de RMN de 1H i ^{13}C de l'àcid 4'-hexanoxi-4-bifenilcarboxílic (**1a'**) en DMSO- d_6 .

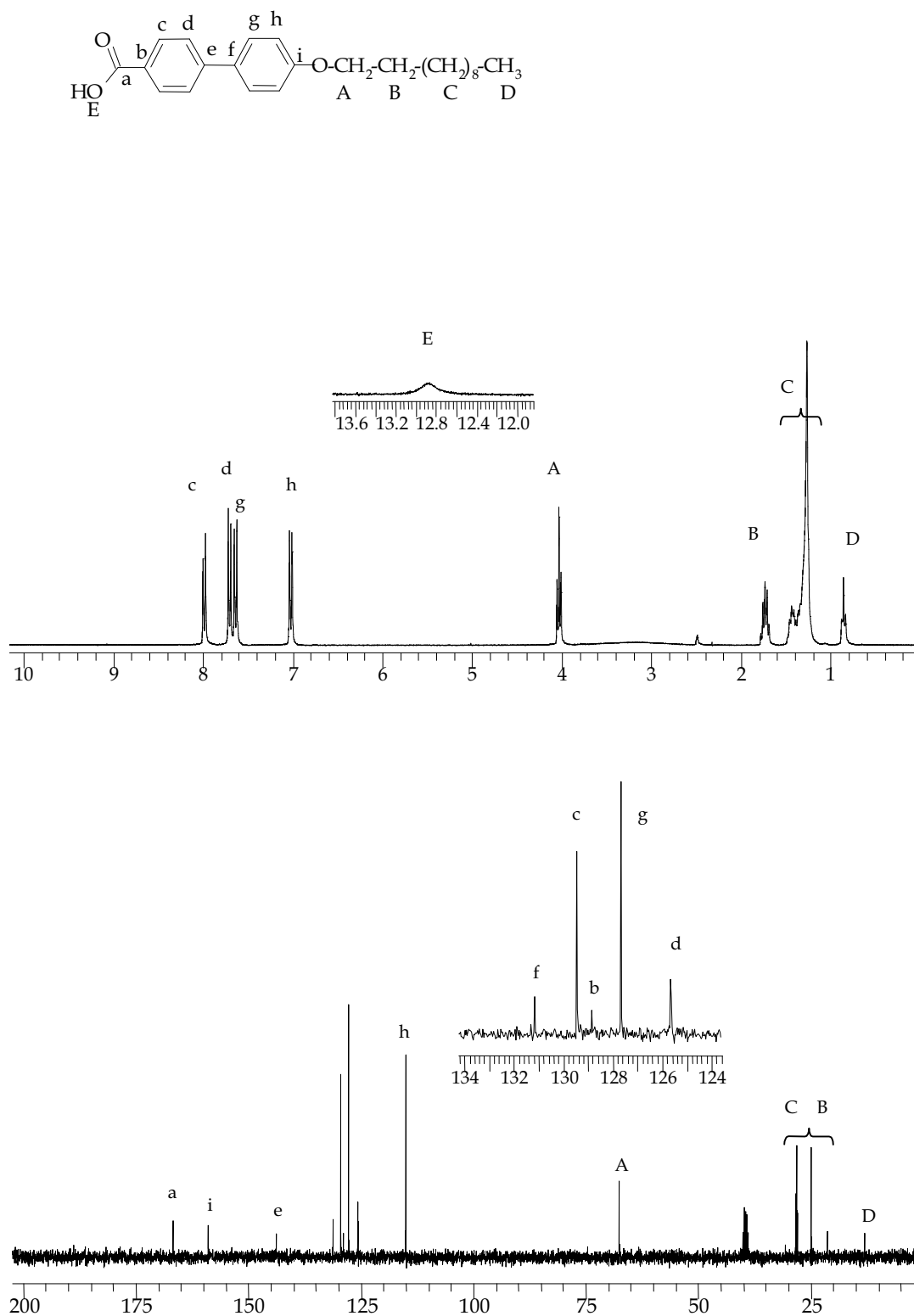


Figura 8.4. Espectres de RMN de ^1H i ^{13}C de l'àcid 4'-undecanoxi-4-bifenilcarboxílic (**1b'**) en DMSO-d_6 .

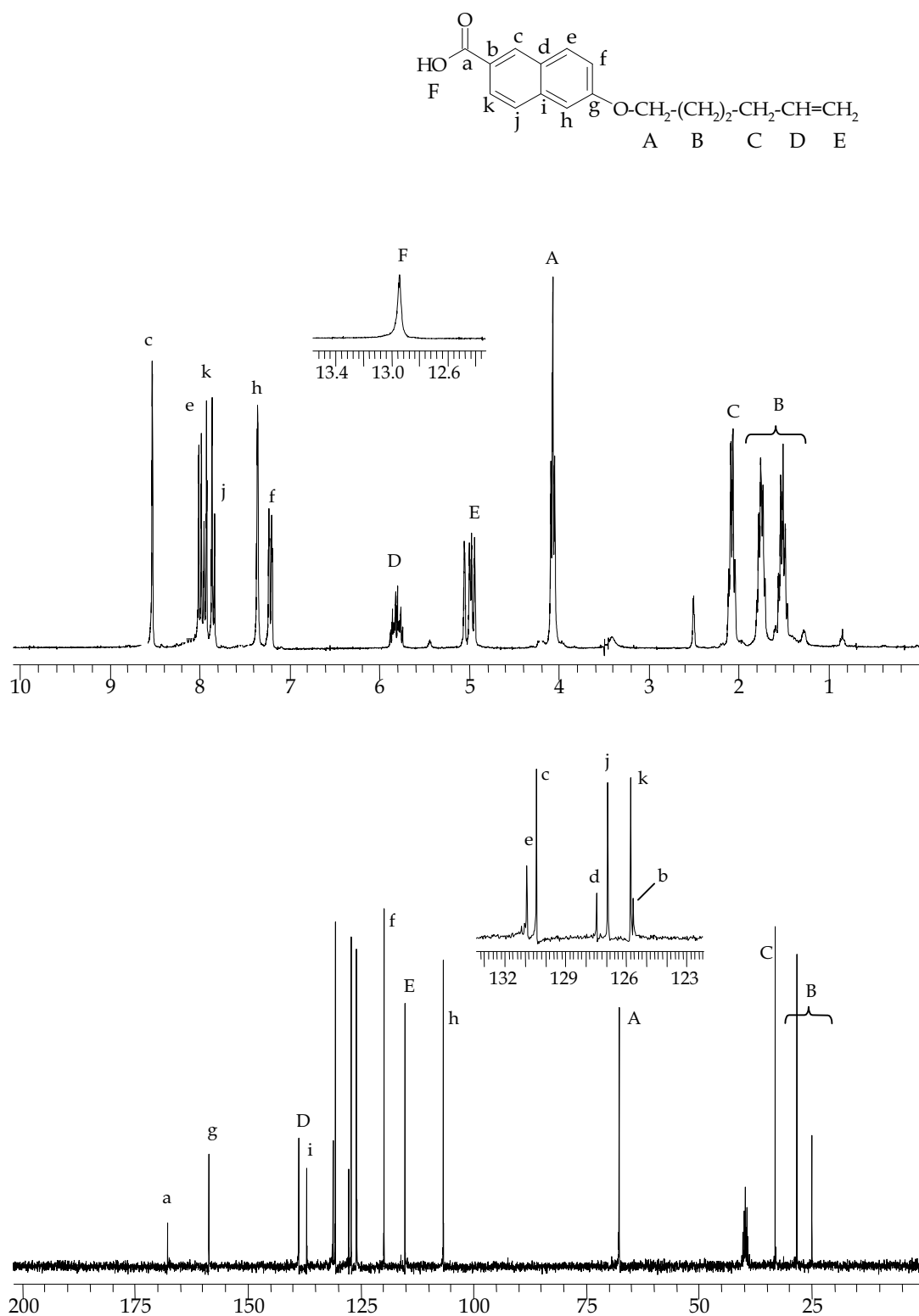


Figura 8.5. Espectres de RMN de ^1H i ^{13}C de l'àcid 6-(5-hexenoxi)-2-naftalencarboxílic (**2a**) en DMSO-d_6 .

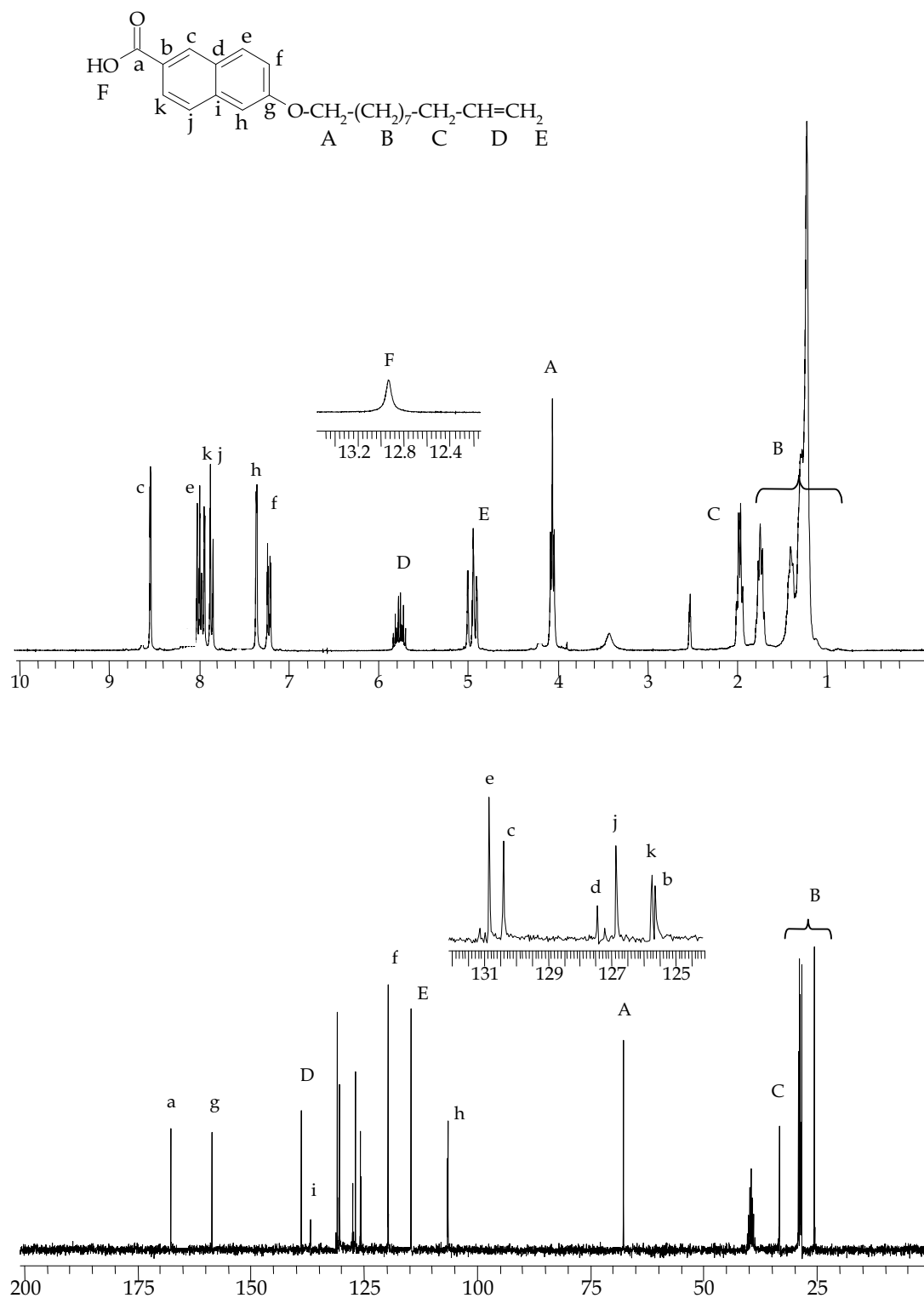


Figura 8.6. Espectres de RMN de ¹H i ¹³C de l'àcid 6-(10-undecenoxi)-2-naftalencarboxílic (**2b**) en DMSO-d₆.

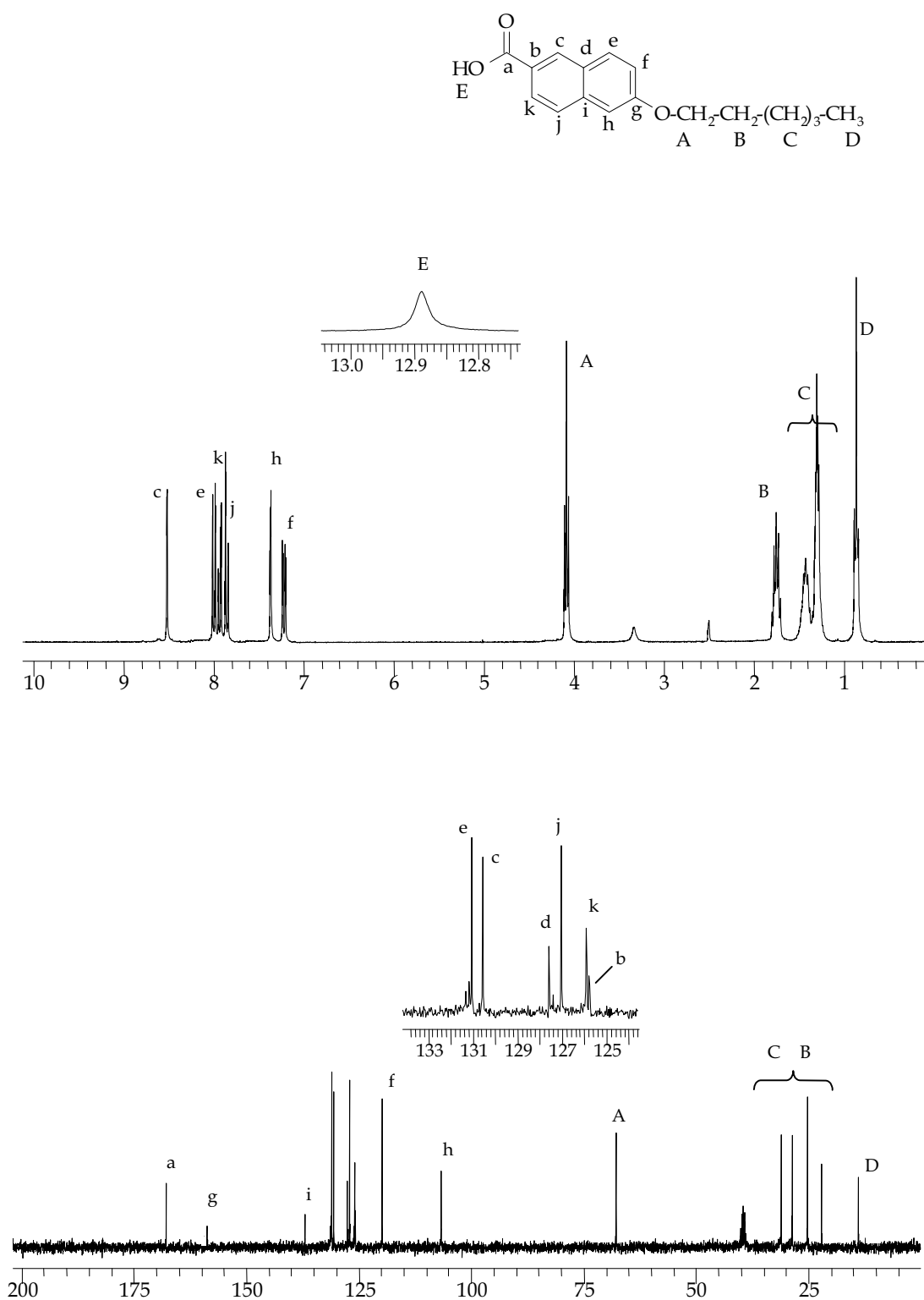


Figura 8.7. Espectres de RMN de ^1H i ^{13}C de l'àcid 6-hexanoxi-2-naftalencarboxílic (**2a'**) en DMSO- d_6 .

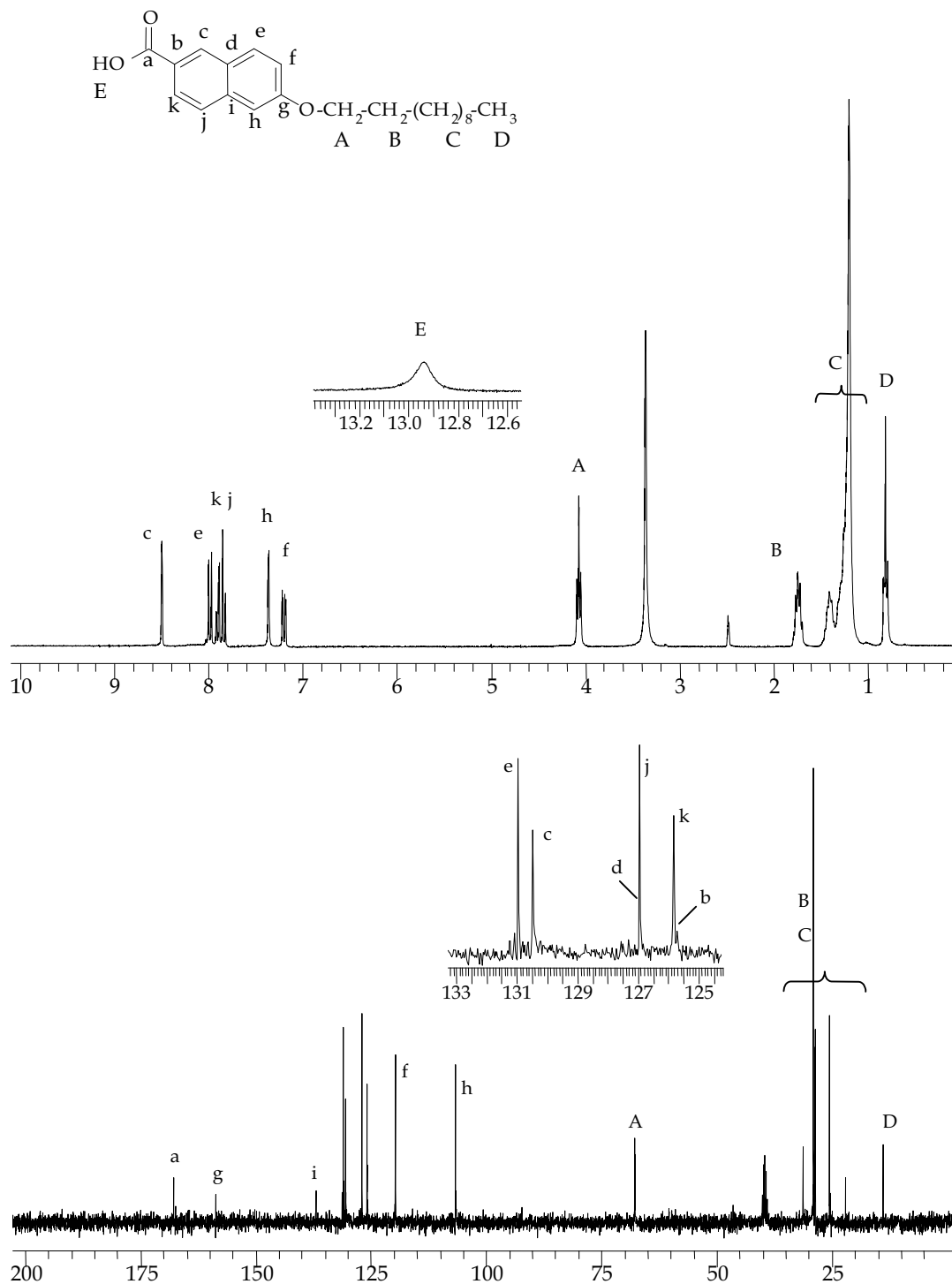


Figura 8.8. Espectres de RMN de ^1H i ^{13}C de l'àcid 6-undecanoxi-2-naftalencarboxílic (**2b'**) en DMSO-d_6 .

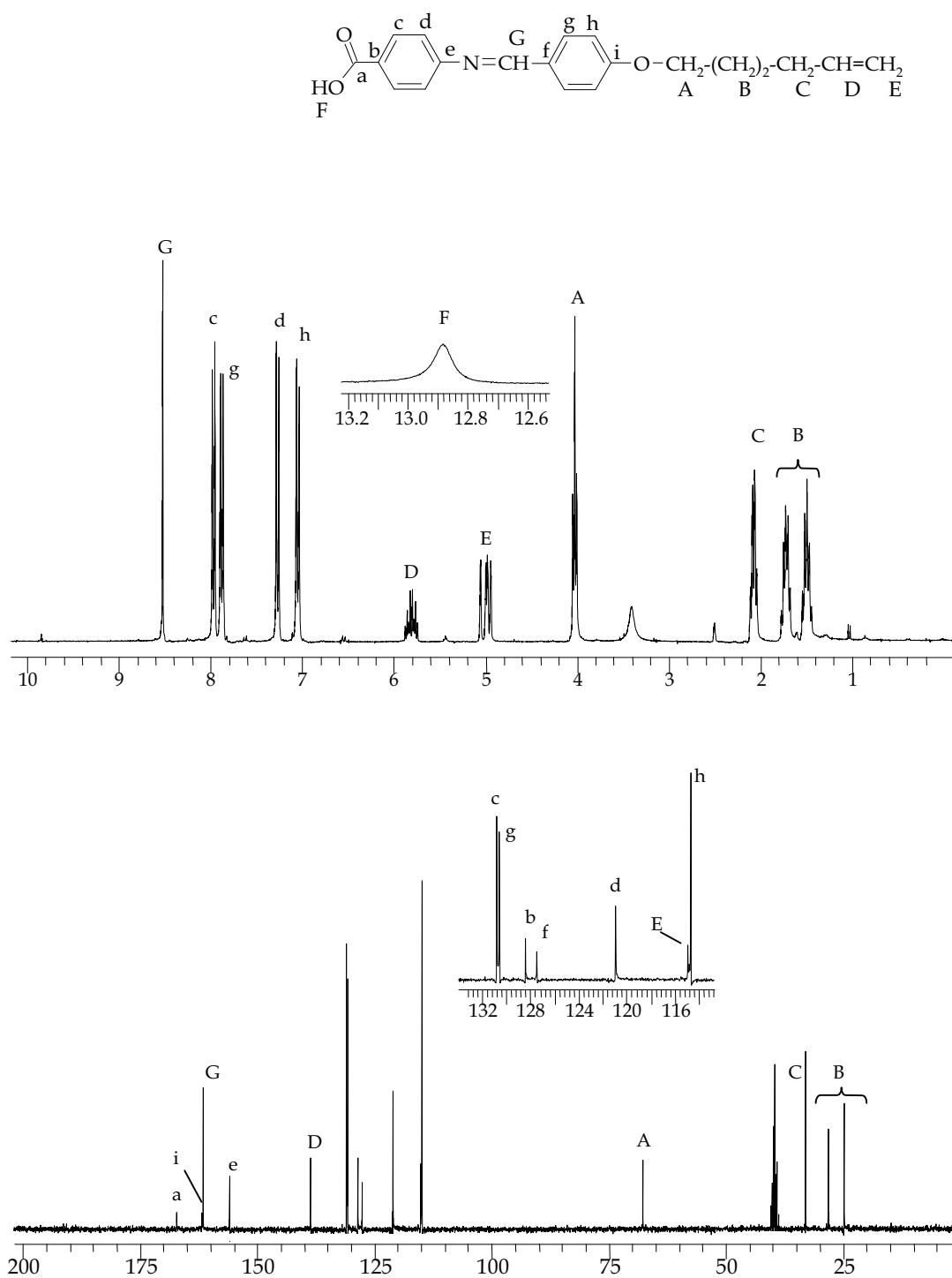


Figura 8.9. Espectres de RMN de ^1H i ^{13}C de l'àcid 4-[4'-(5-hexenoxi)-benzilidenamino]benzoic (3a) en DMSO-d_6 .

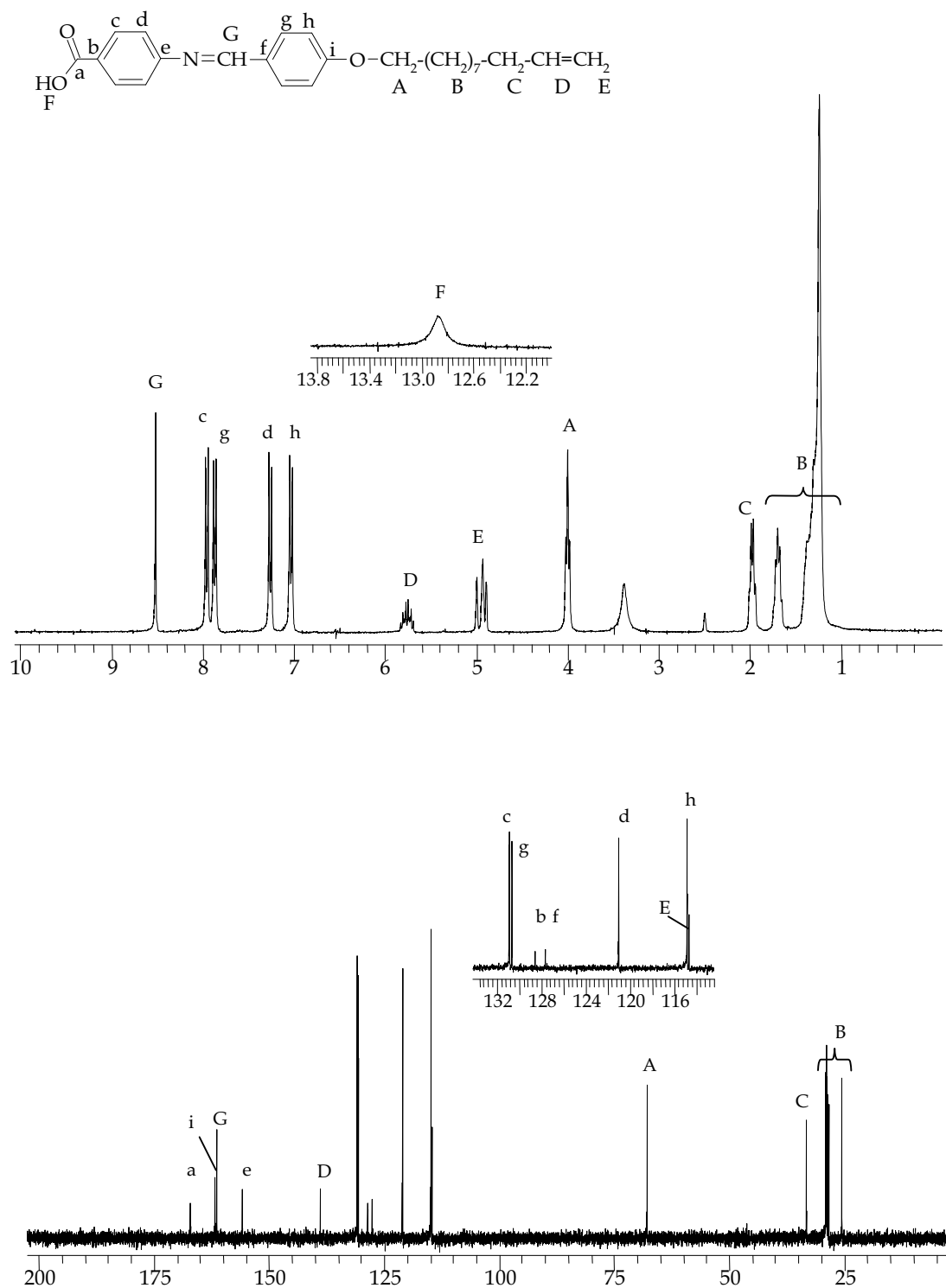


Figura 8.10. Espectres de RMN de ^1H i ^{13}C de l'àcid 4-[4'-(10-undecenoxi)benzilidenamino]benzoic (**3b**) en DMSO-d_6 .

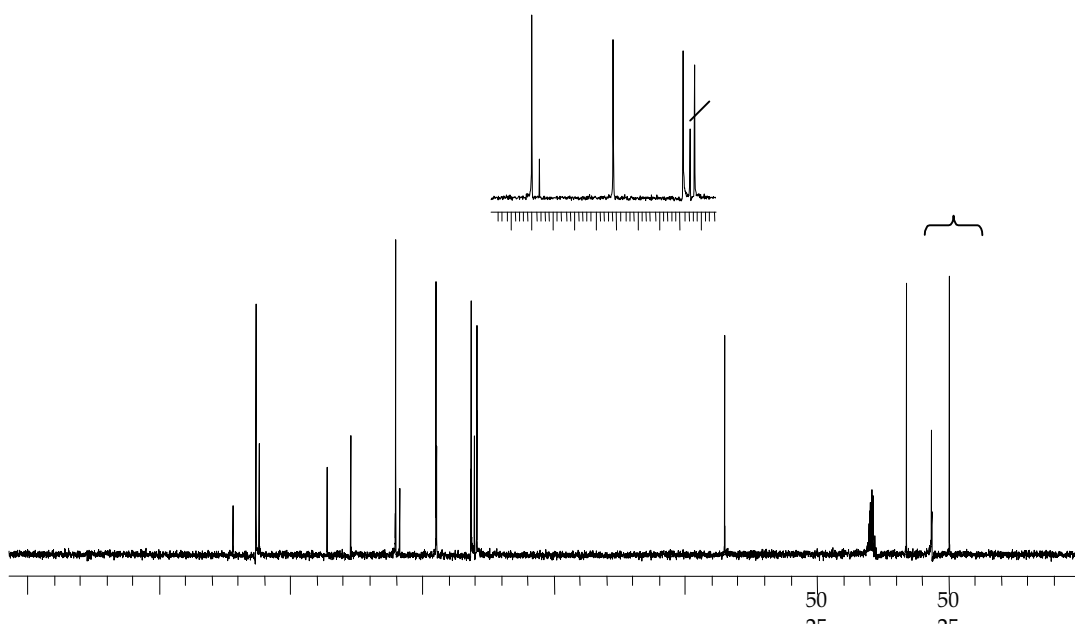
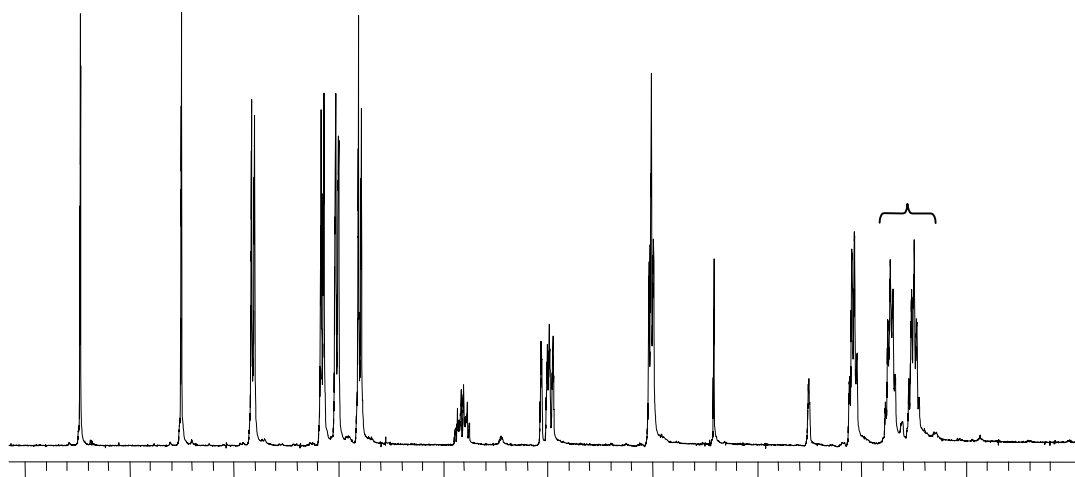
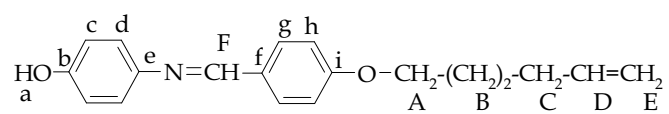


Figura 8.11. Espectres de RMN de ^1H i ^{13}C del 4-[4'-(5-hexenoxy)benziliden amino]fenol (3c) en DMSO-d_6 .

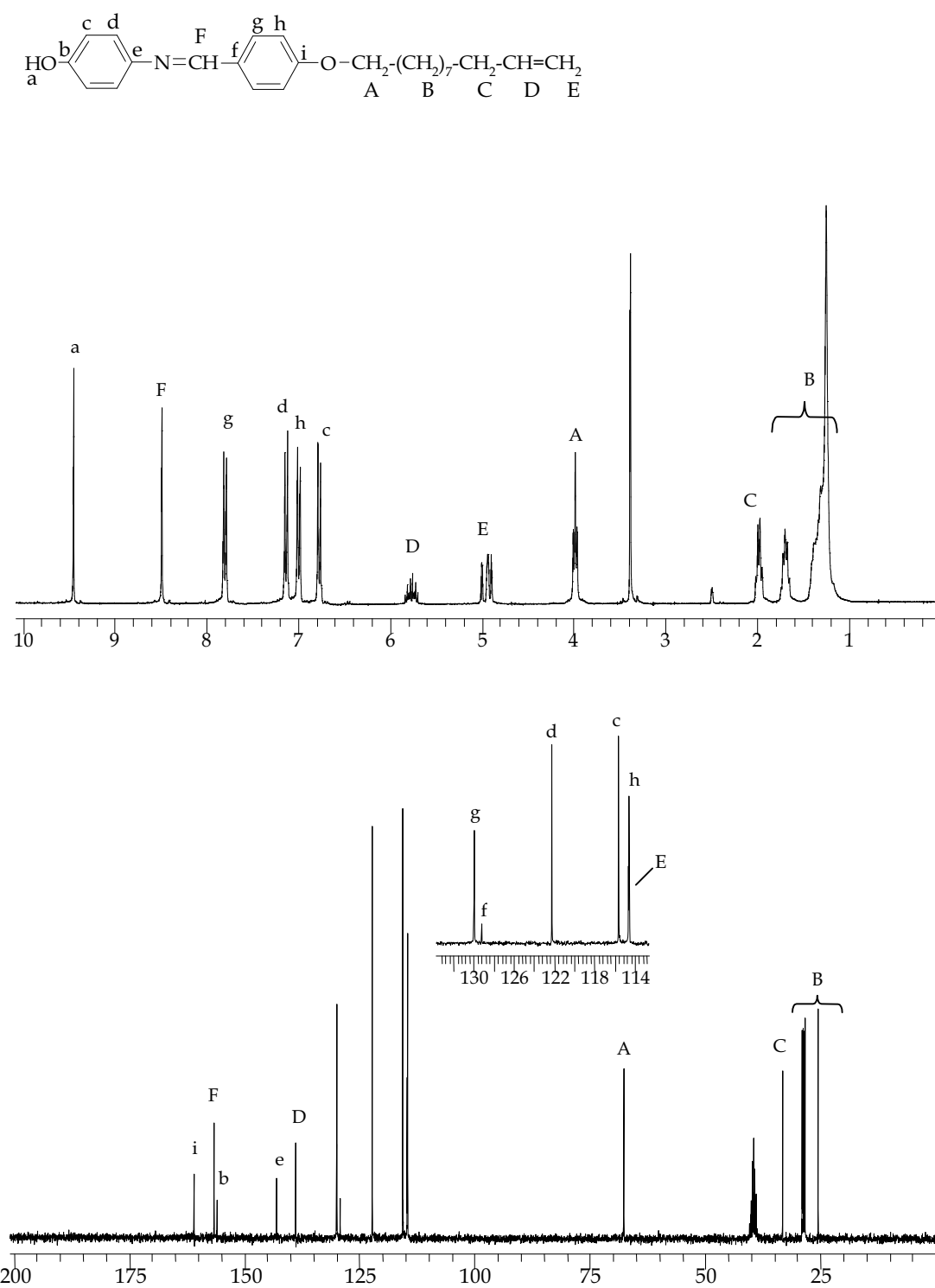


Figura 8.12. Espectres de RMN de ^1H i ^{13}C del 4-[4'-(10-undecenoxi)benzilidenamino]fenol (**3d**) en DMSO-d_6 .

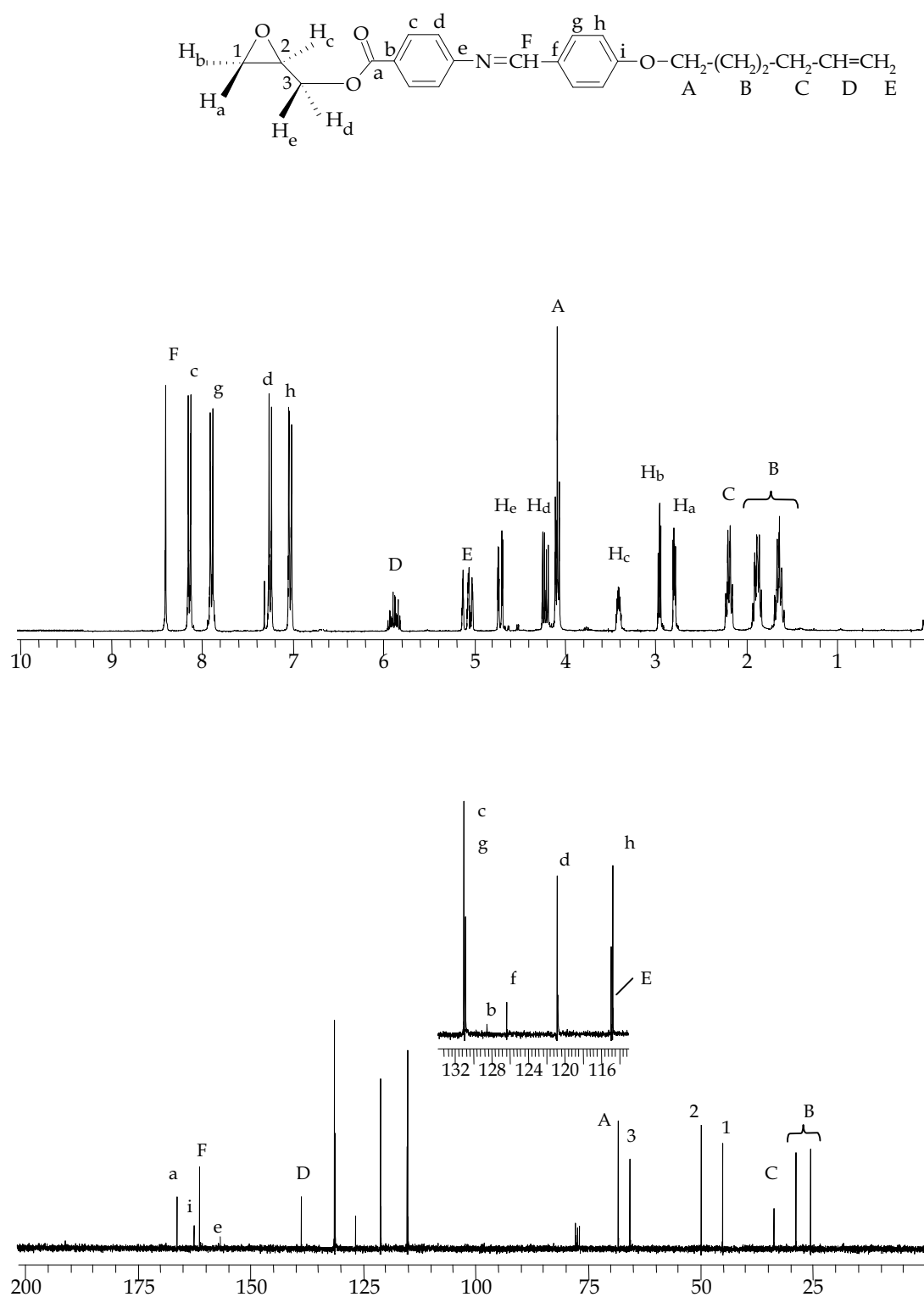


Figura 8.13. Espectres de RMN de ^1H i ^{13}C del glicidilester de l'àcid 4-[4'-(5-hexenoxy)benzilidenamino]benzoic (**G-3a**) en CDCl_3 .

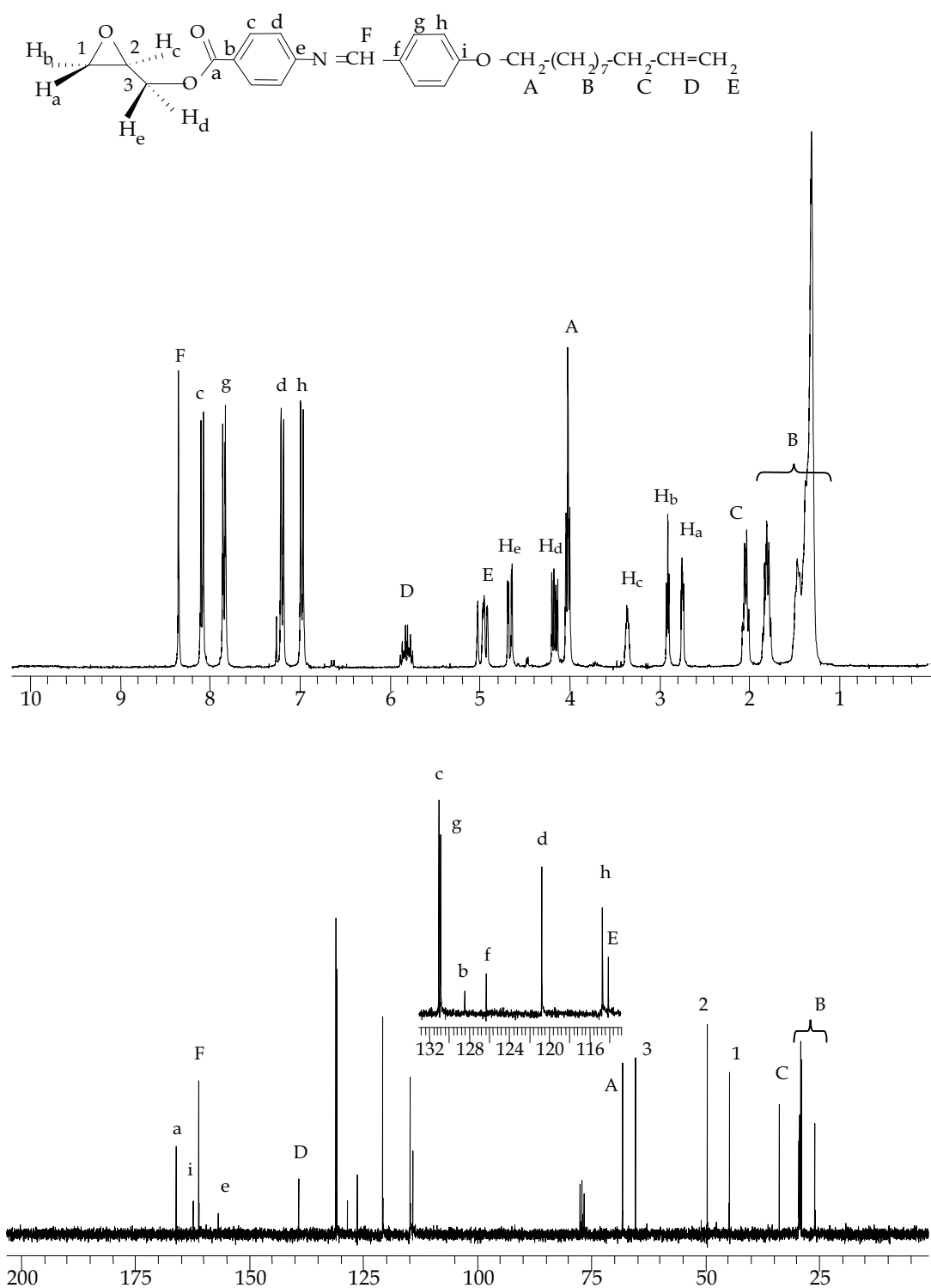


Figura 8.14. Espectres de RMN de ^1H i ^{13}C del glicidilester de l'àcid 4-[4'-(10-undecenoxi)benzilidenamino]benzoic (**G-3b**) en CDCl_3 .

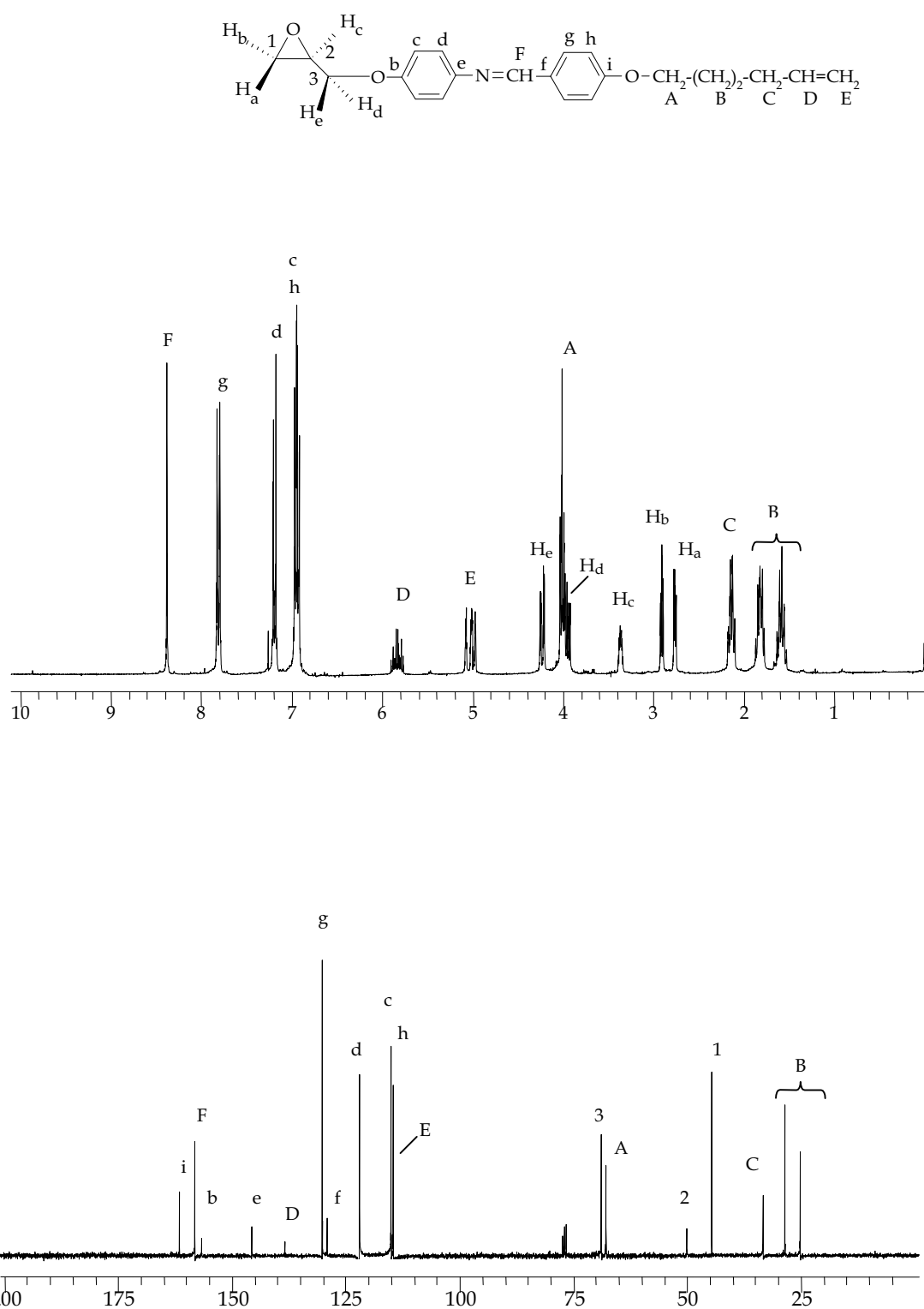


Figura 8.15. Espectres de RMN de ^1H i ^{13}C del glicidilèter del 4-[4'-(5-hexenoxy)benzilidenamino]fenol (**G-3c**) en CDCl_3 .

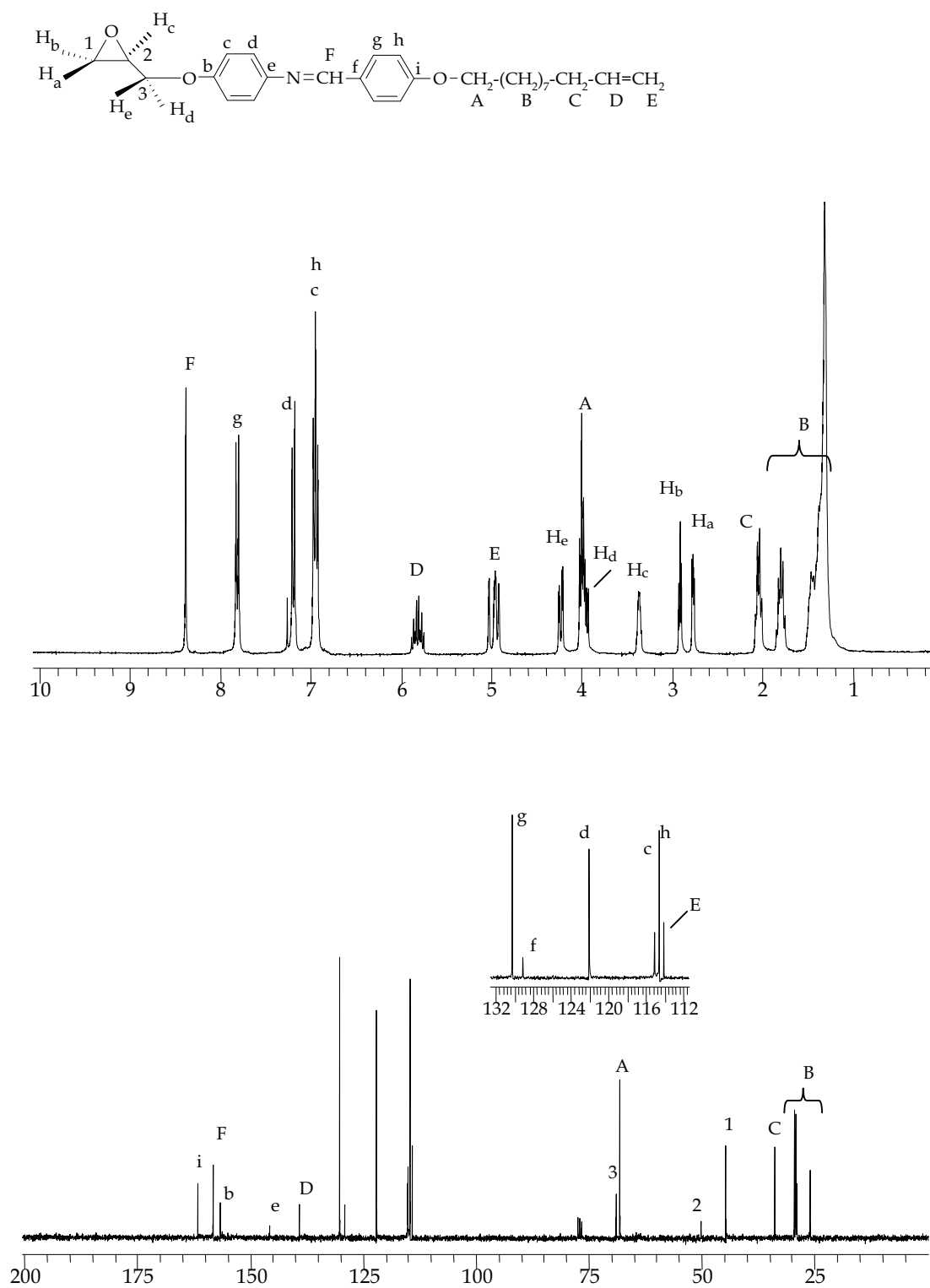


Figura 8.16. Espectres de RMN de ^1H i ^{13}C del glicidilèter del 4-[4'-(10-undecenoxy)benzilidenamino]fenol (G-3d) en CDCl_3 .

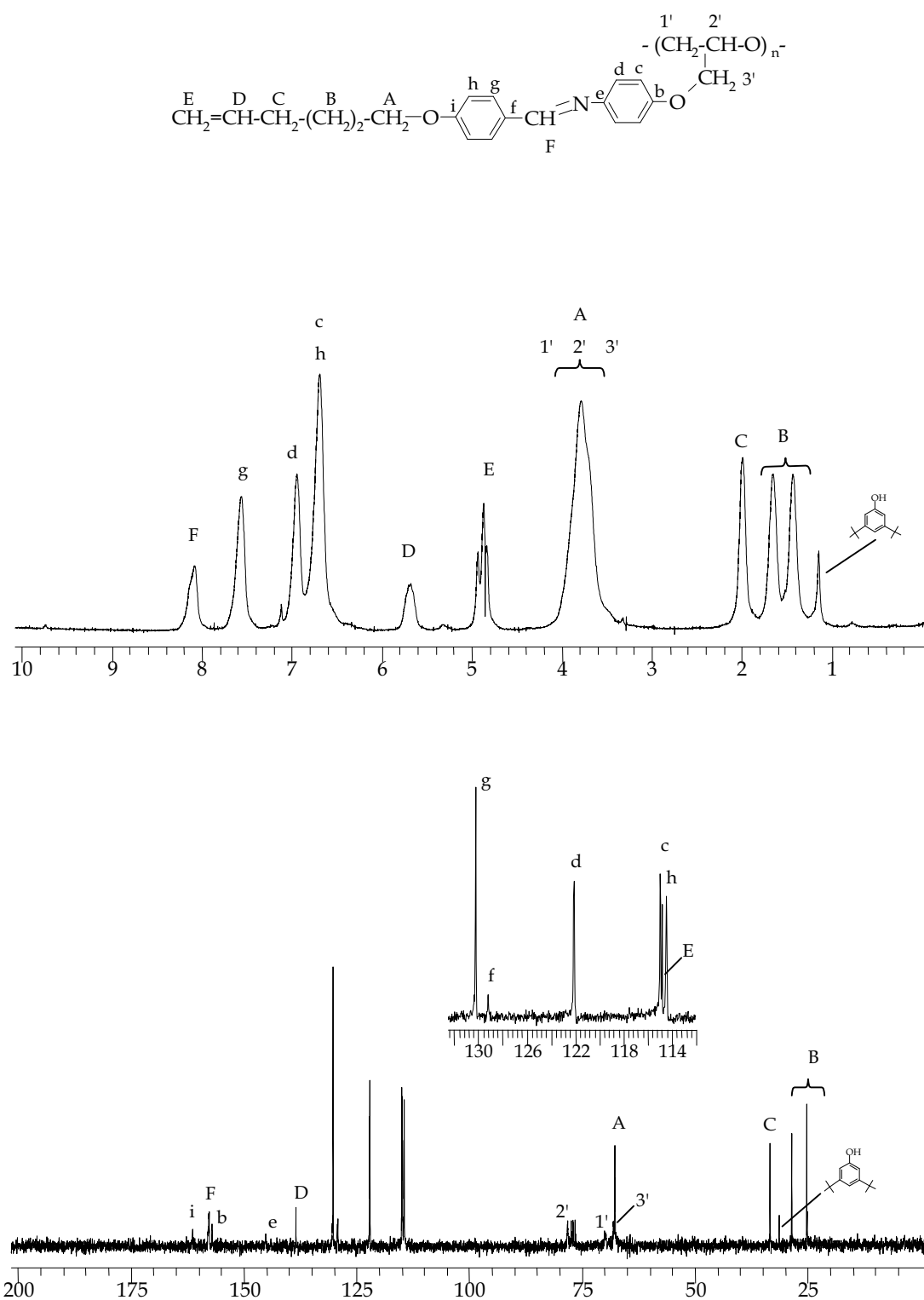


Figura 8.17. Espectres de RMN de ^1H i ^{13}C del polímer obtingut en la polimerització de **G-3c** amb $t\text{-Bu-P}_4$ en CDCl_3 .

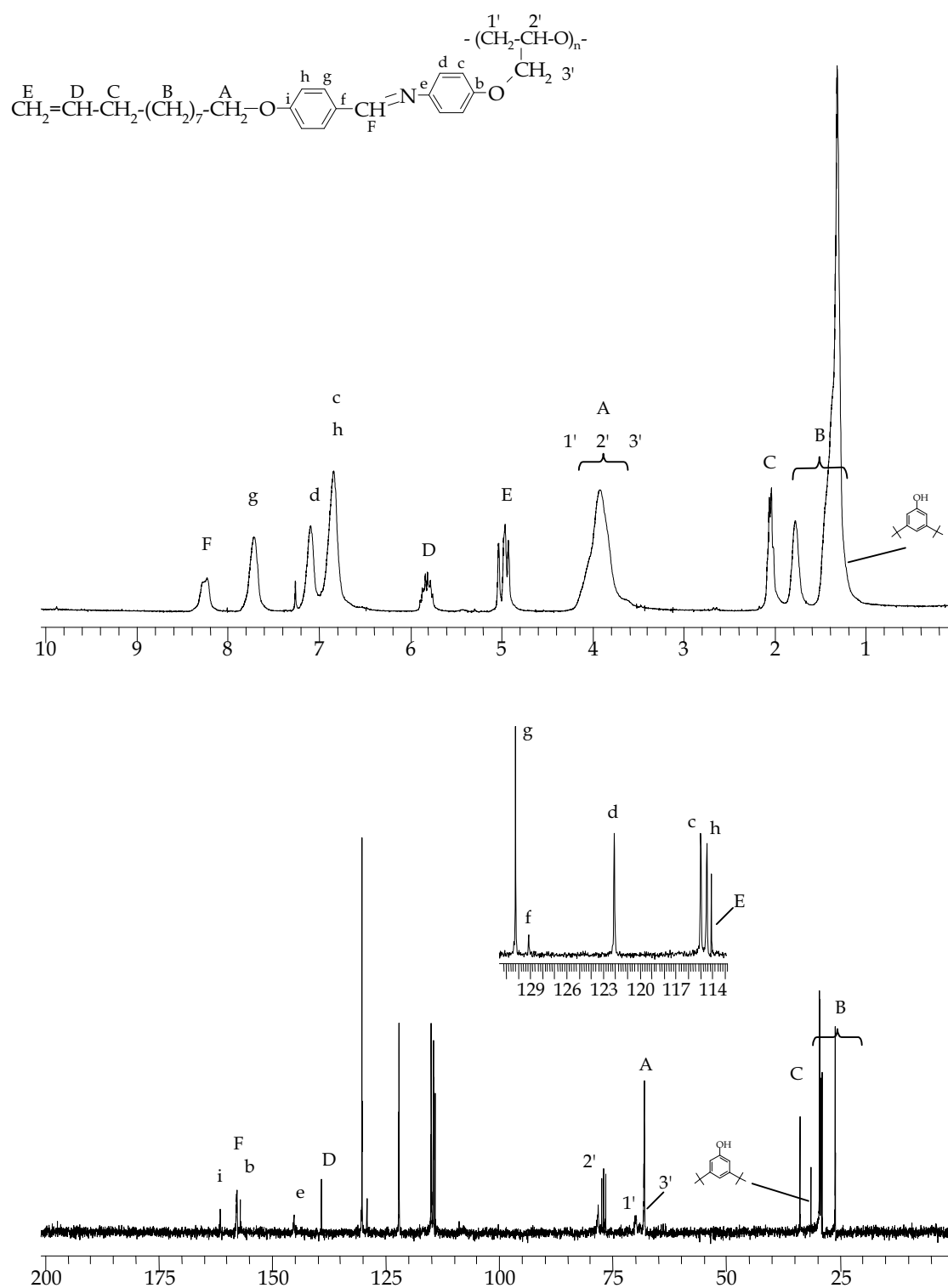


Figura 8.18. Espectres de RMN de ^1H i ^{13}C del polímer obtingut en la polimerització de **G-3d** amb t-Bu-P₄ en CDCl_3 .

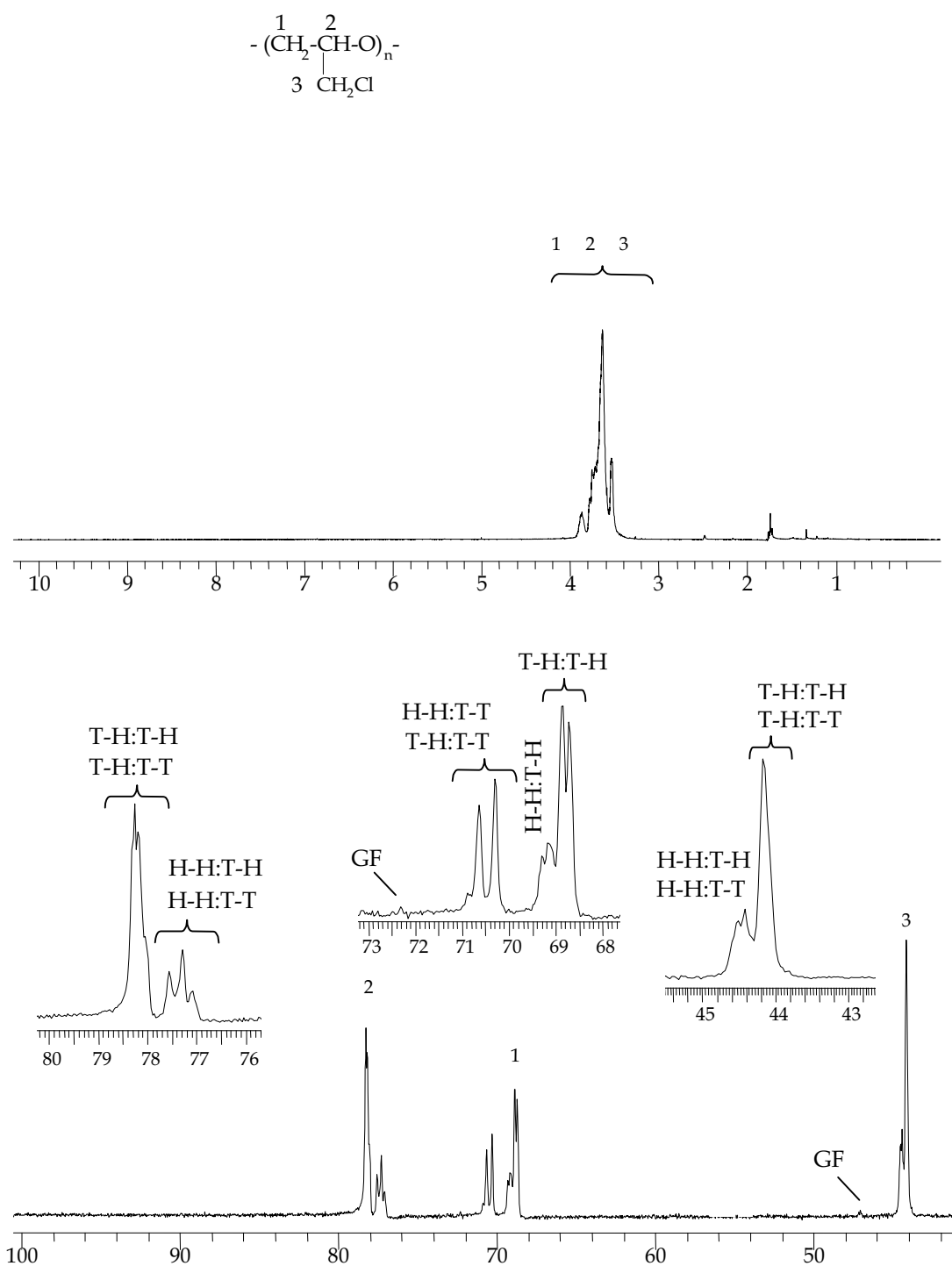


Figura 8.19. Espectres de RMN de ^1H i ^{13}C de la PECH obtinguda en la polimerització catiònica de (\pm)-ECH en DMSO-d_6 .

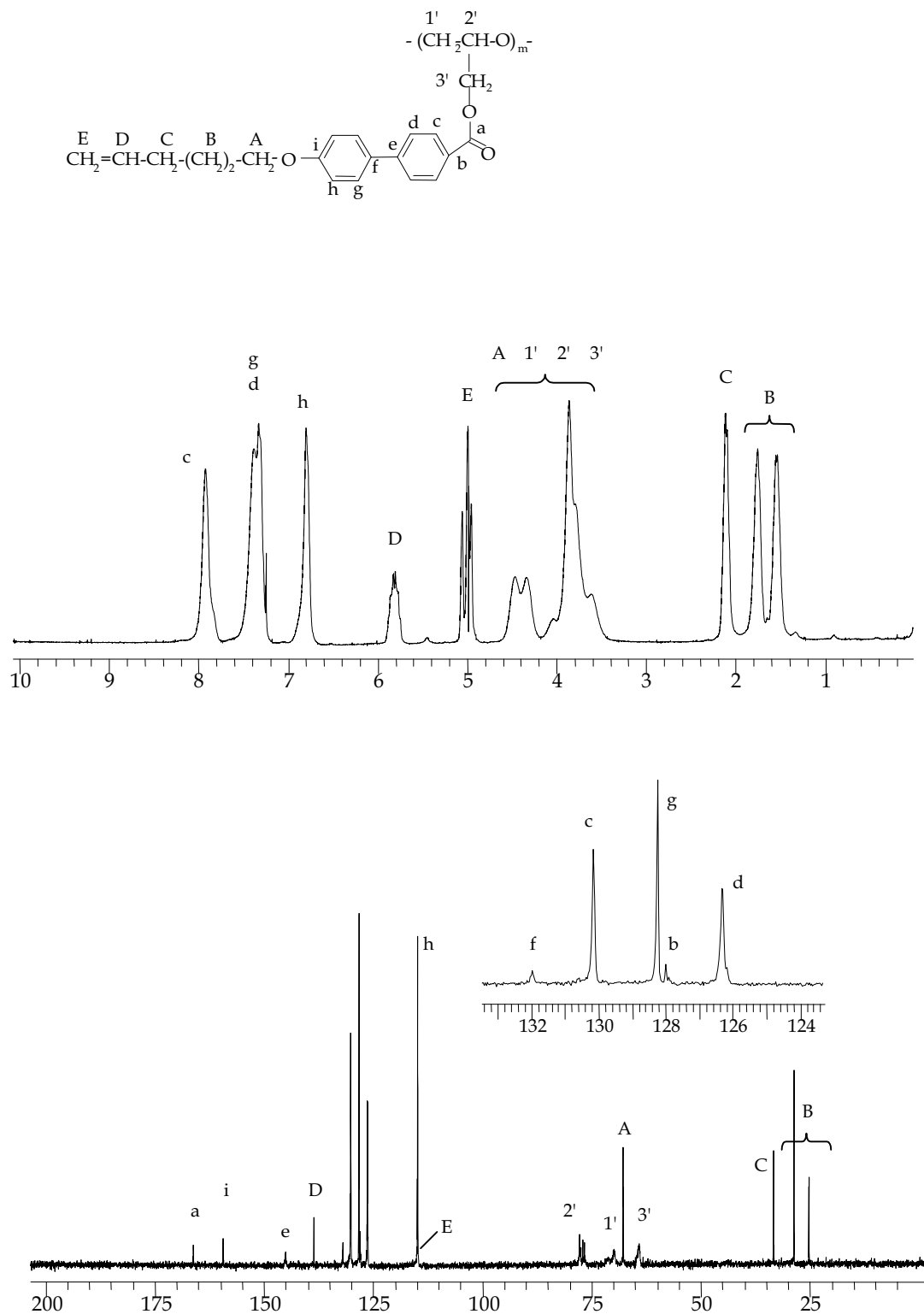


Figura 8.20. Espectres de RMN de ^1H i ^{13}C de la PECH de baix pes molecular modificada amb l'àcid **1a** en un 97% (exp. **13**) en CDCl_3 .

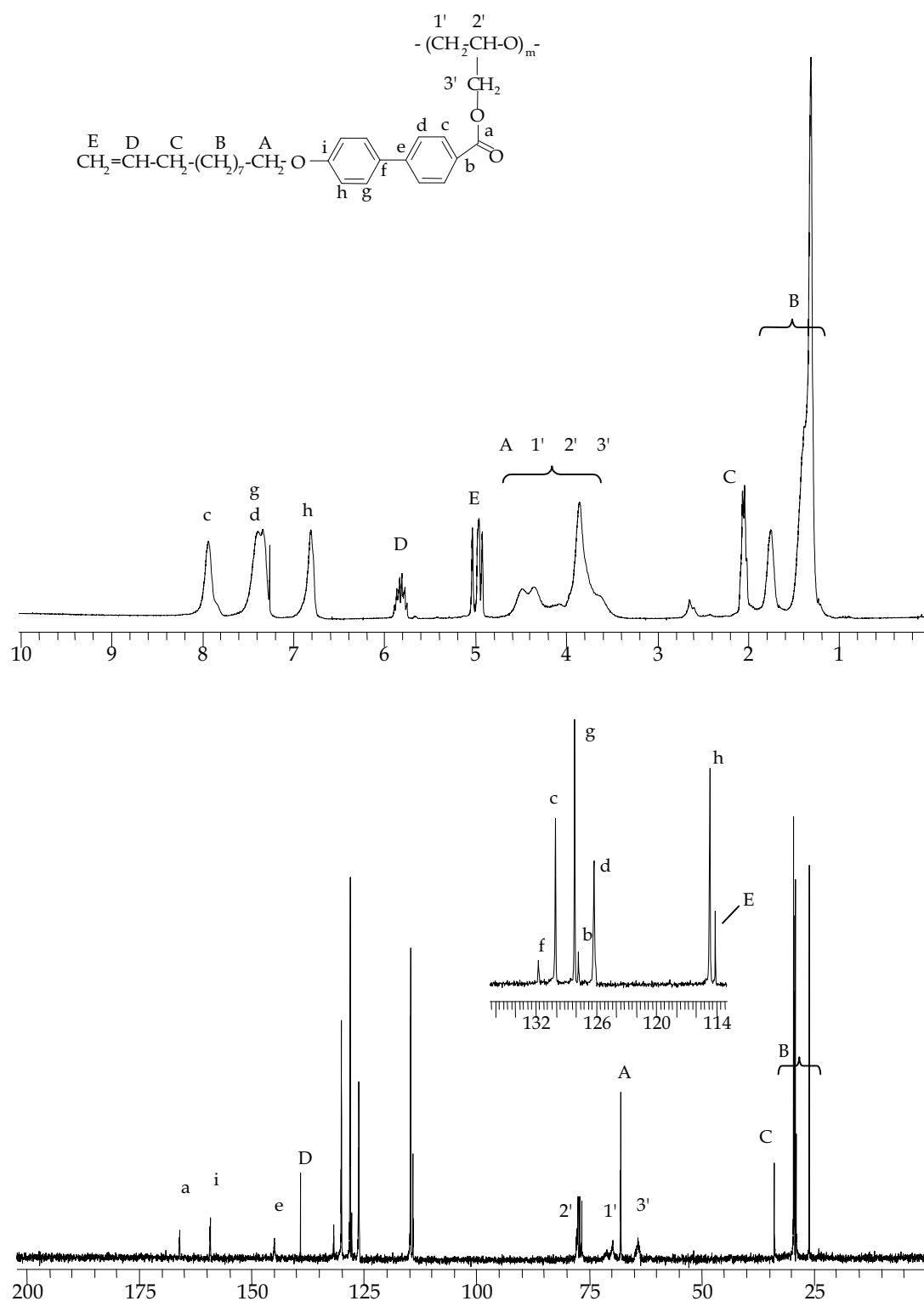


Figura 8.21. Espectres de RMN de ^1H i ^{13}C de la PECH de baix pes molecular modificada amb l'àcid **1b** en un 96% (exp. **14**) en CDCl_3 .

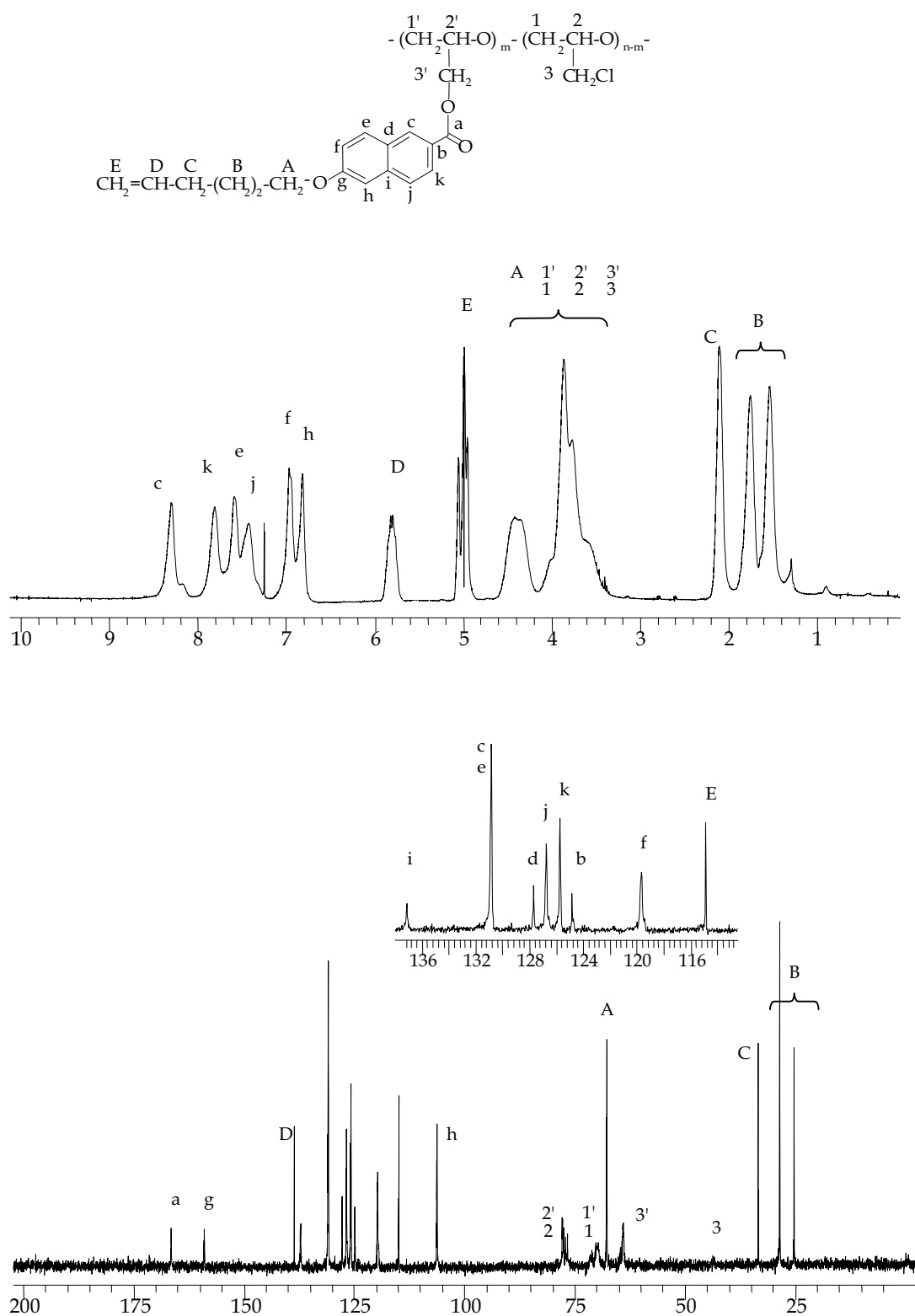


Figura 8.22. Espectres de RMN de ^1H i ^{13}C de la PECH de baix pes molecular modificada amb l'àcid 2a en un 93% (exp. 16) en CDCl_3 .

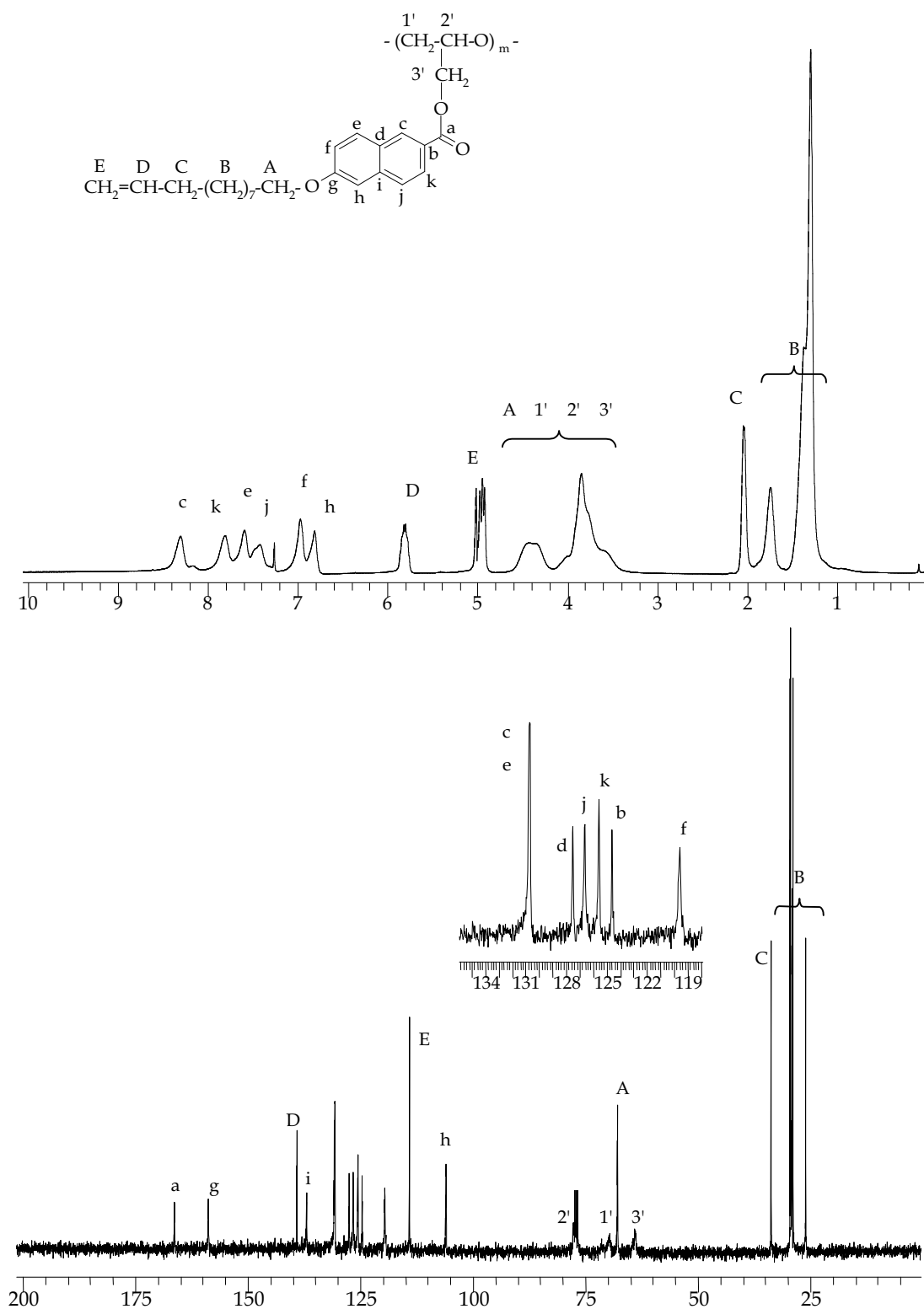


Figura 8.23. Espectres de RMN de ^1H i ^{13}C de la PECH de baix pes molecular modificada amb l'àcid **2b** en un 99% (exp. **18**) en CDCl_3 .

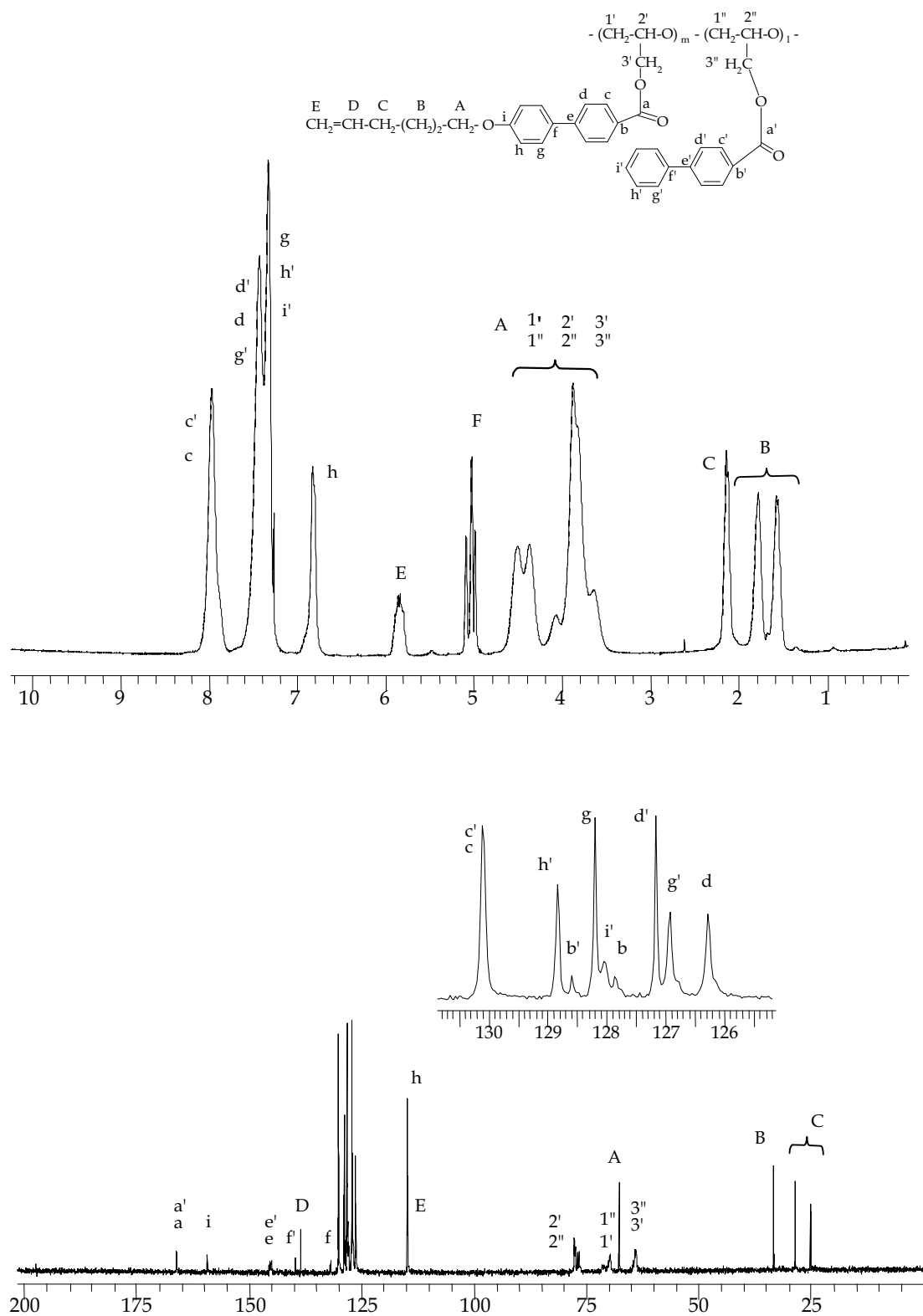


Figura 8.24. Espectres de RMN de ^1H i ^{13}C de la PECH modificada amb els àcids bifenilcarboxílic (A) i 1a en un 42 i 58%, respectivament (exp. 19) en CDCl_3 .

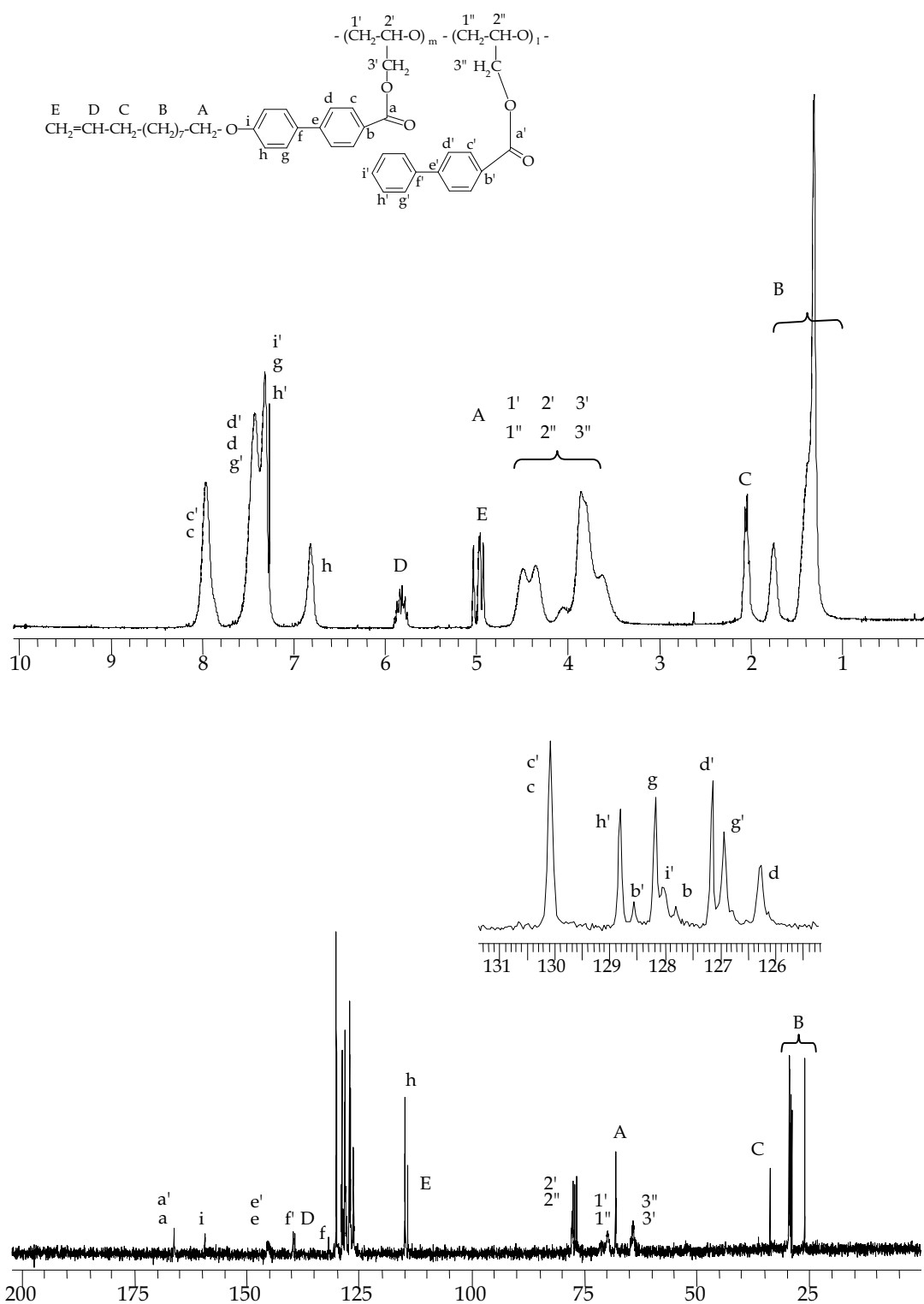


Figura 8.25. Espectres de RMN de ^1H i ^{13}C de la PECH modificada amb els àcids bifenílcarboxílic (A) i **1b** en un 53 i 44%, respectivament (exp. 22) en CDCl_3 .

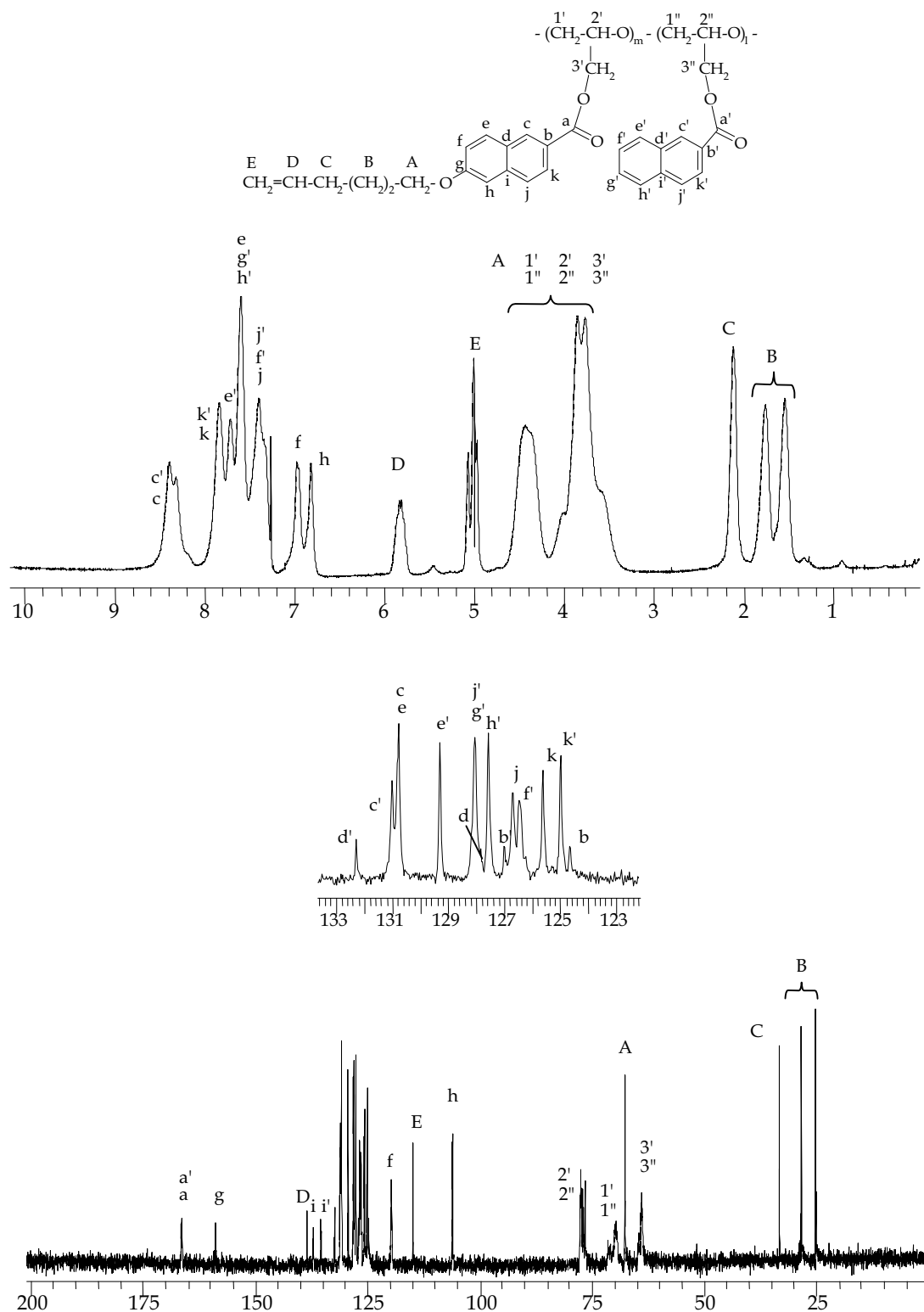


Figura 8.26. Espectres de RMN de ^1H i ^{13}C de la PECH modificada amb els àcids naftalencarboxílic (**B**) i **2a** en un 49 i 50% (exp. **25**) en CDCl_3 .

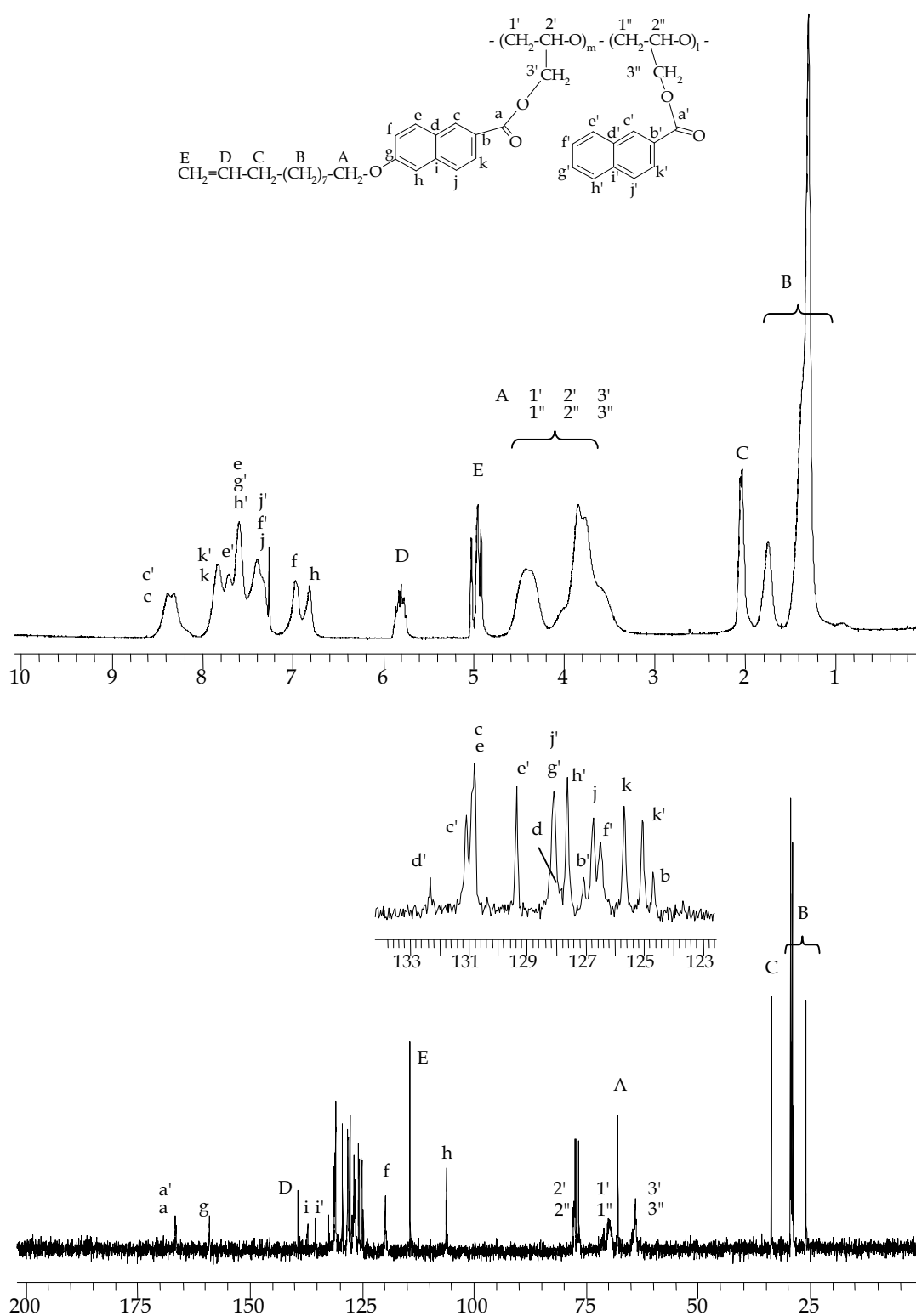


Figura 8.27. Espectres de RMN de ^1H i ^{13}C de la PECH modificada amb els àcids naftalencarboxílic (**B**) i **2b** en un 43 i 51%, respectivament (exp. **28**) en CDCl_3 .

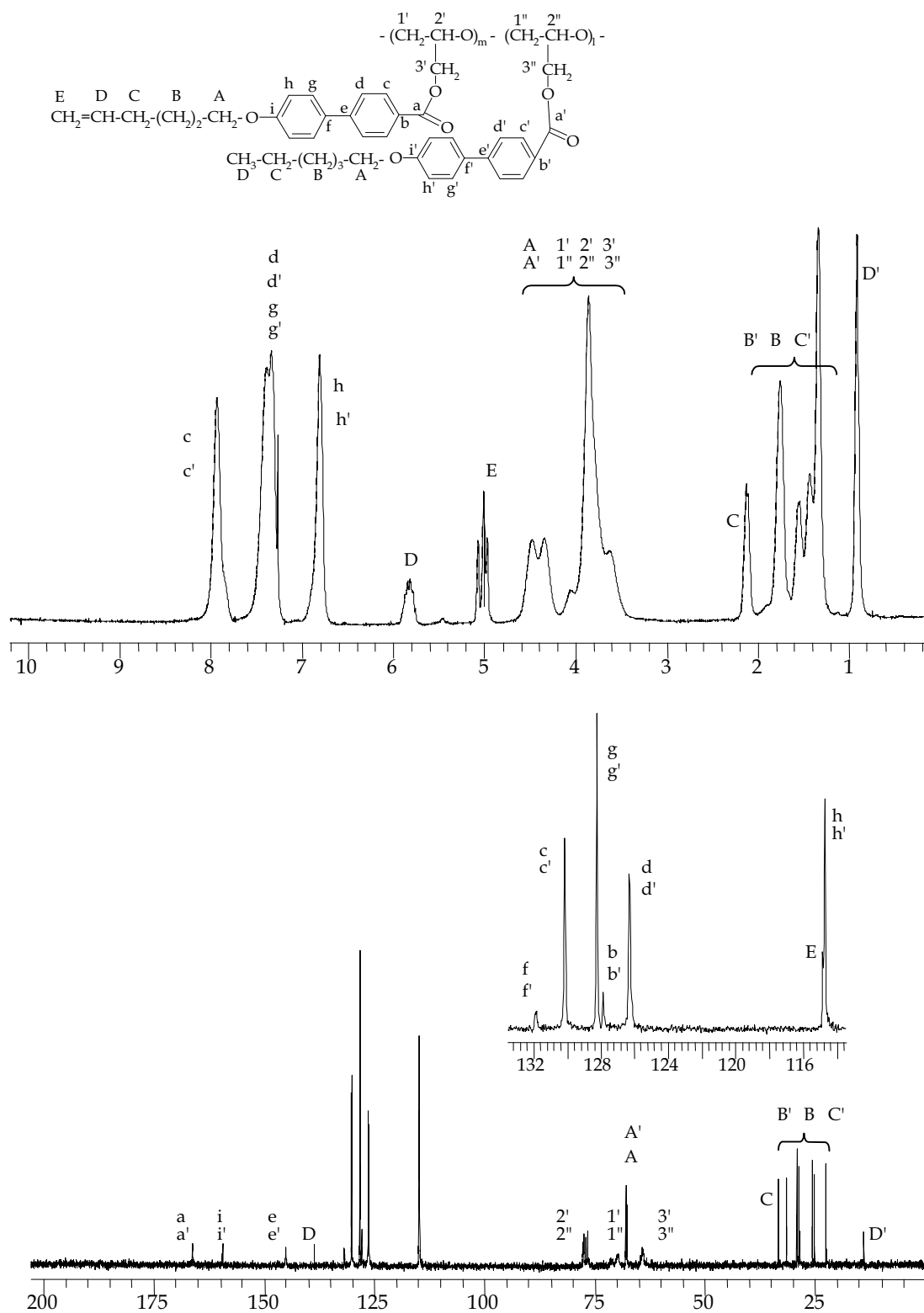


Figura 8.28. Espectres de RMN de ^1H i ^{13}C de la PECH modificada amb els àcids **1a** i **1a'** en un 44 i 55%, respectivament (exp. 31) en CDCl_3 .

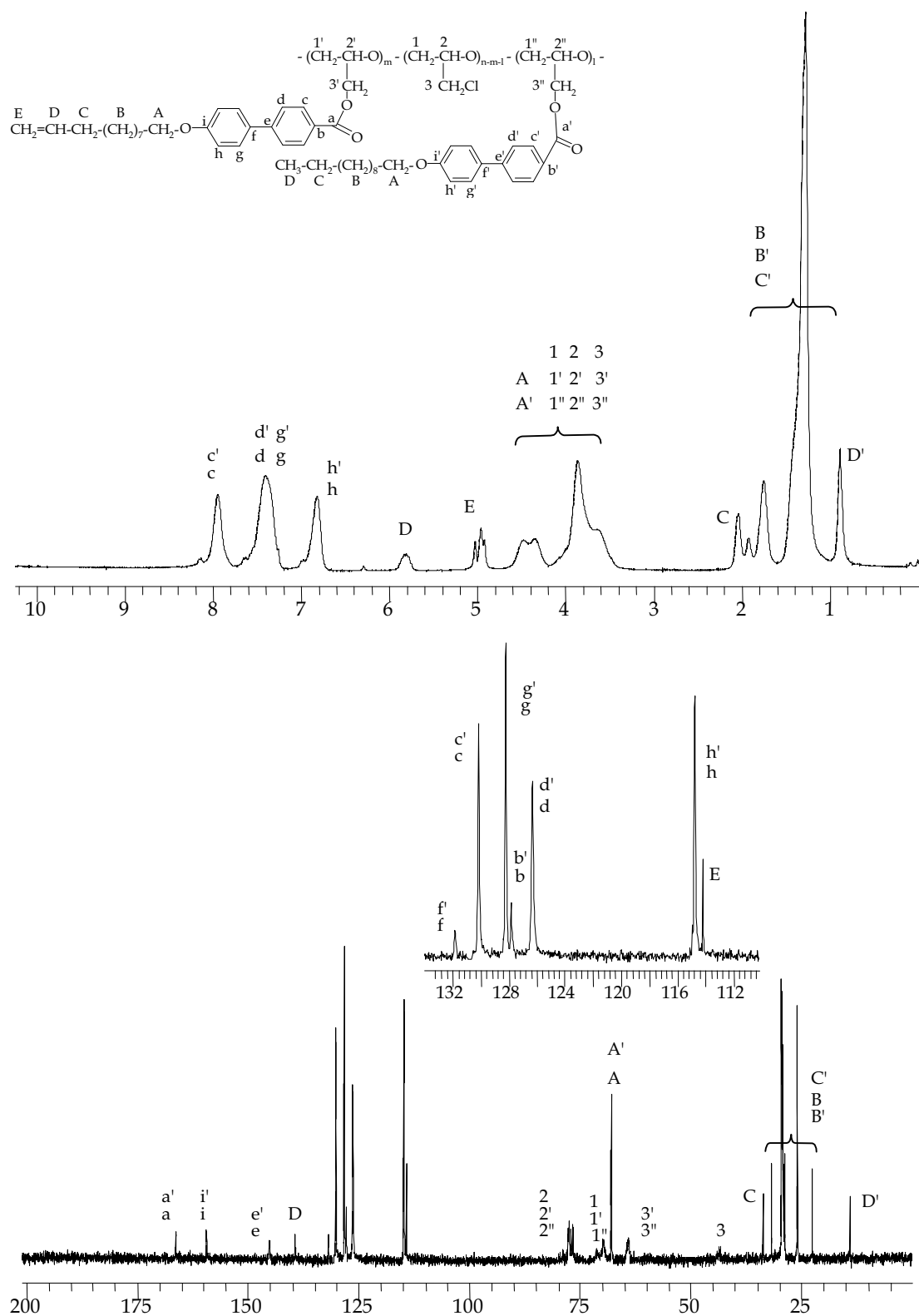


Figura 8.29. Espectres de RMN de ^1H i ^{13}C de la PECH modificada amb els àcids **1b** i **1b'** en un 49 i 32%, respectivament (exp. 35) en CDCl_3 .

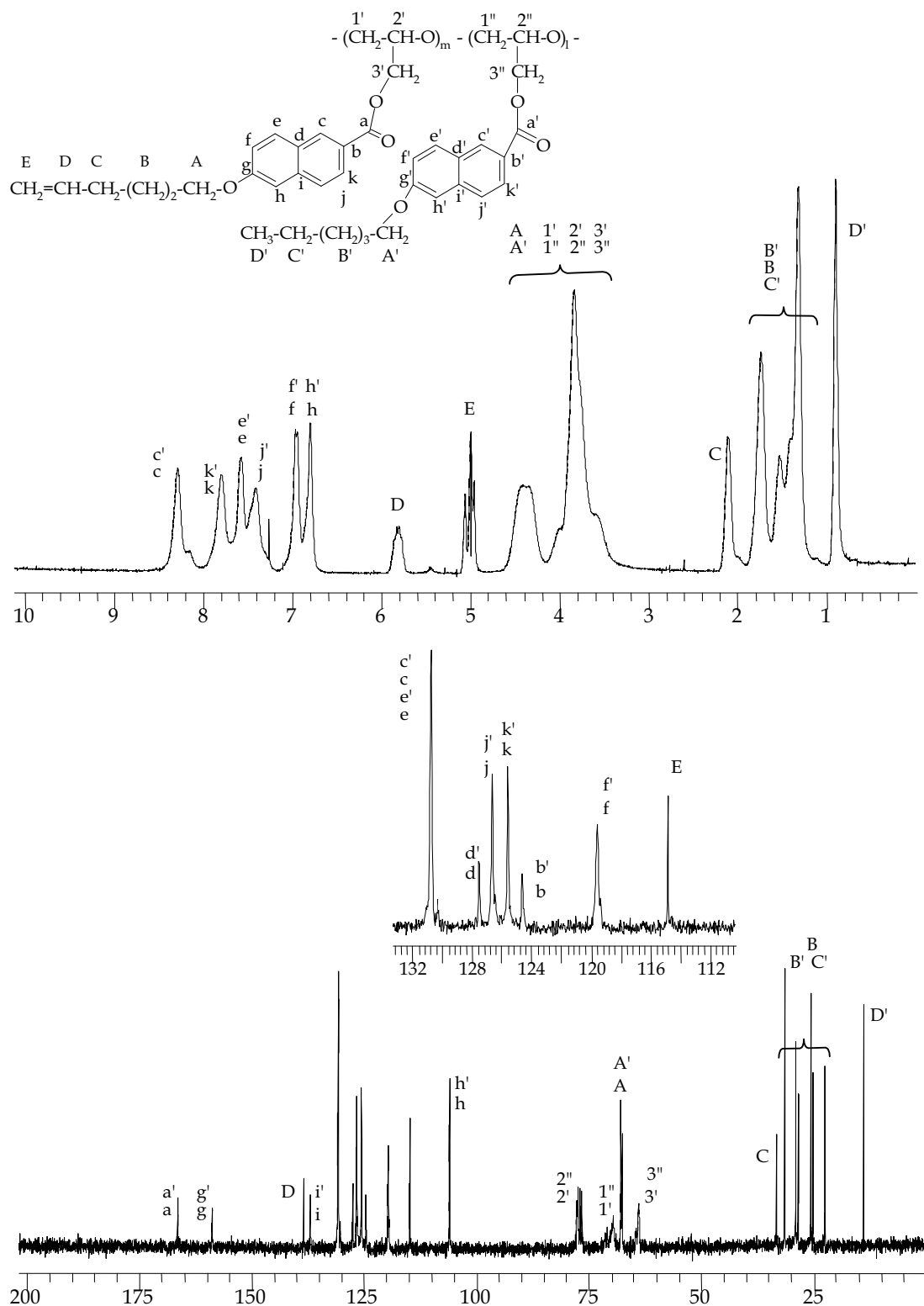


Figura 8.30. Espectres de RMN de ^1H i ^{13}C de la PECH modificada amb els àcids **2a** i **2a'** en un 47 i 53%, respectivament (exp. 39) en CDCl_3 .

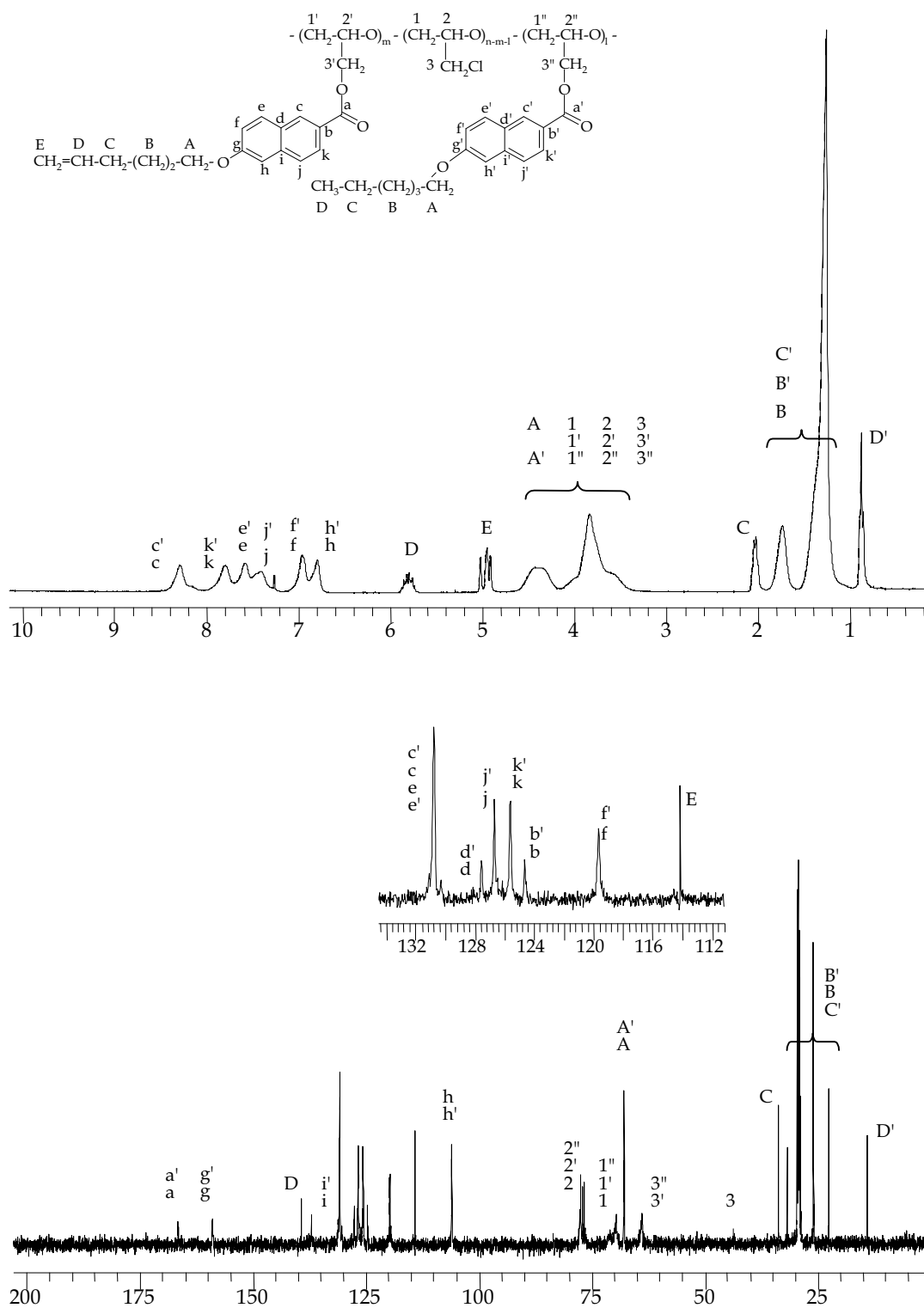


Figura 8.31. Espectres de RMN de ^1H i ^{13}C de la PECH modificada amb els àcids **2b** i **2b'** en un 39 i 53%, respectivament (exp. 43) en CDCl_3 .

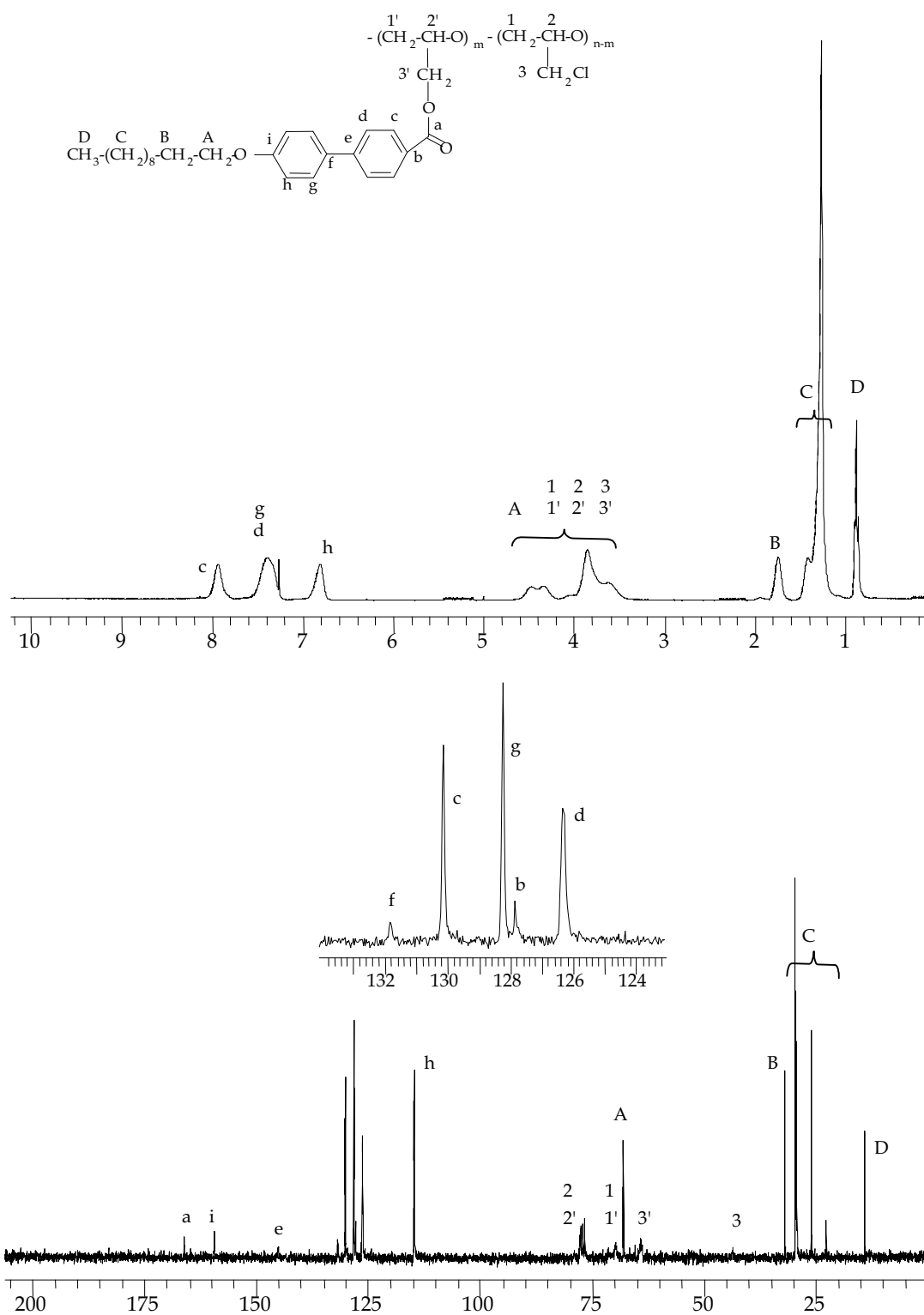


Figura 8.33. Espectres de RMN de ^1H i ^{13}C de la PECH modificada amb l'àcid $1\text{b}'$ en un 84% (exp. 38) en CDCl_3 .

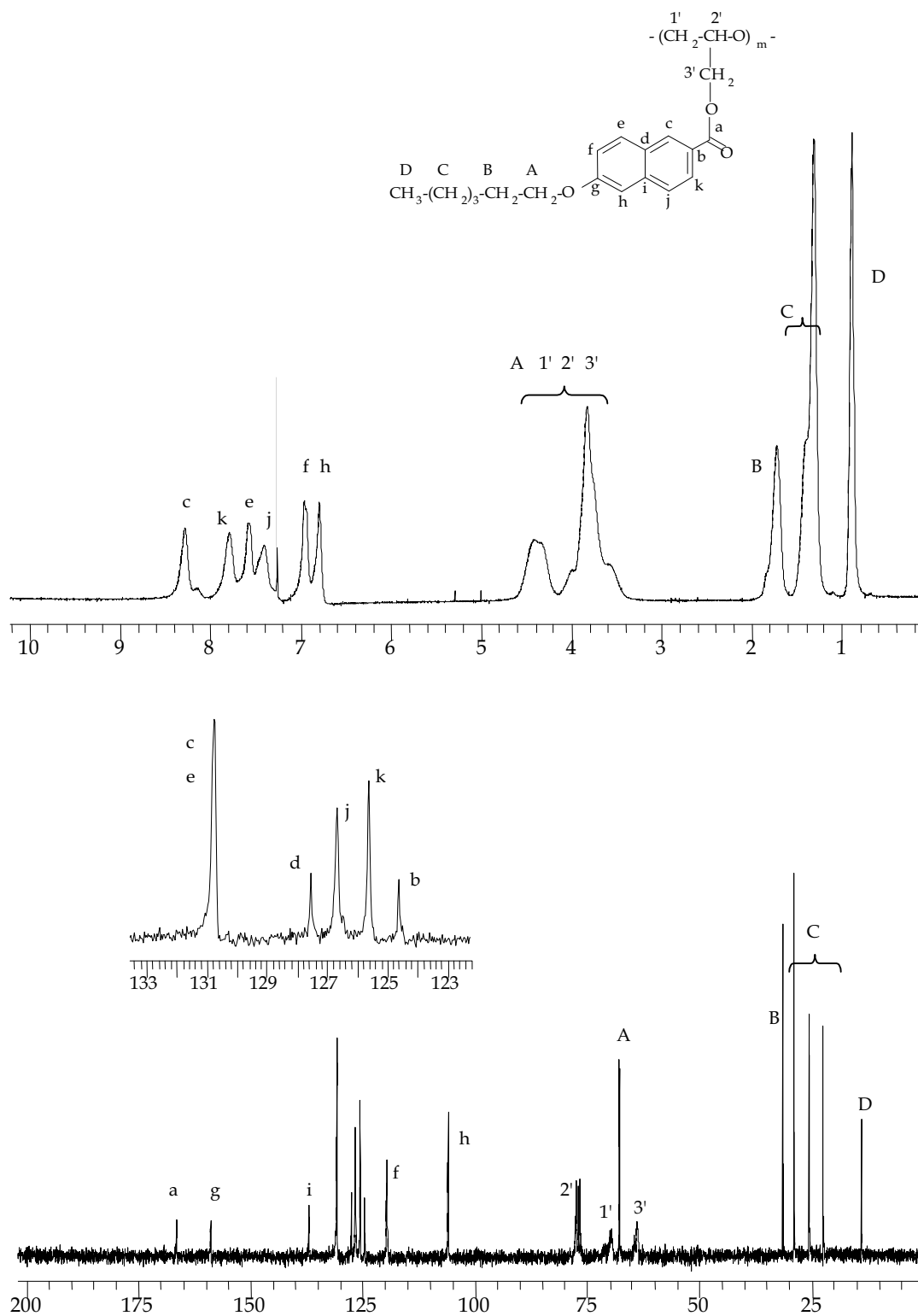


Figura 8.34. Espectres de RMN de ^1H i ^{13}C de la PECH modificada amb l'àcid **2a'** en un 100% (exp. 42) en CDCl_3 .

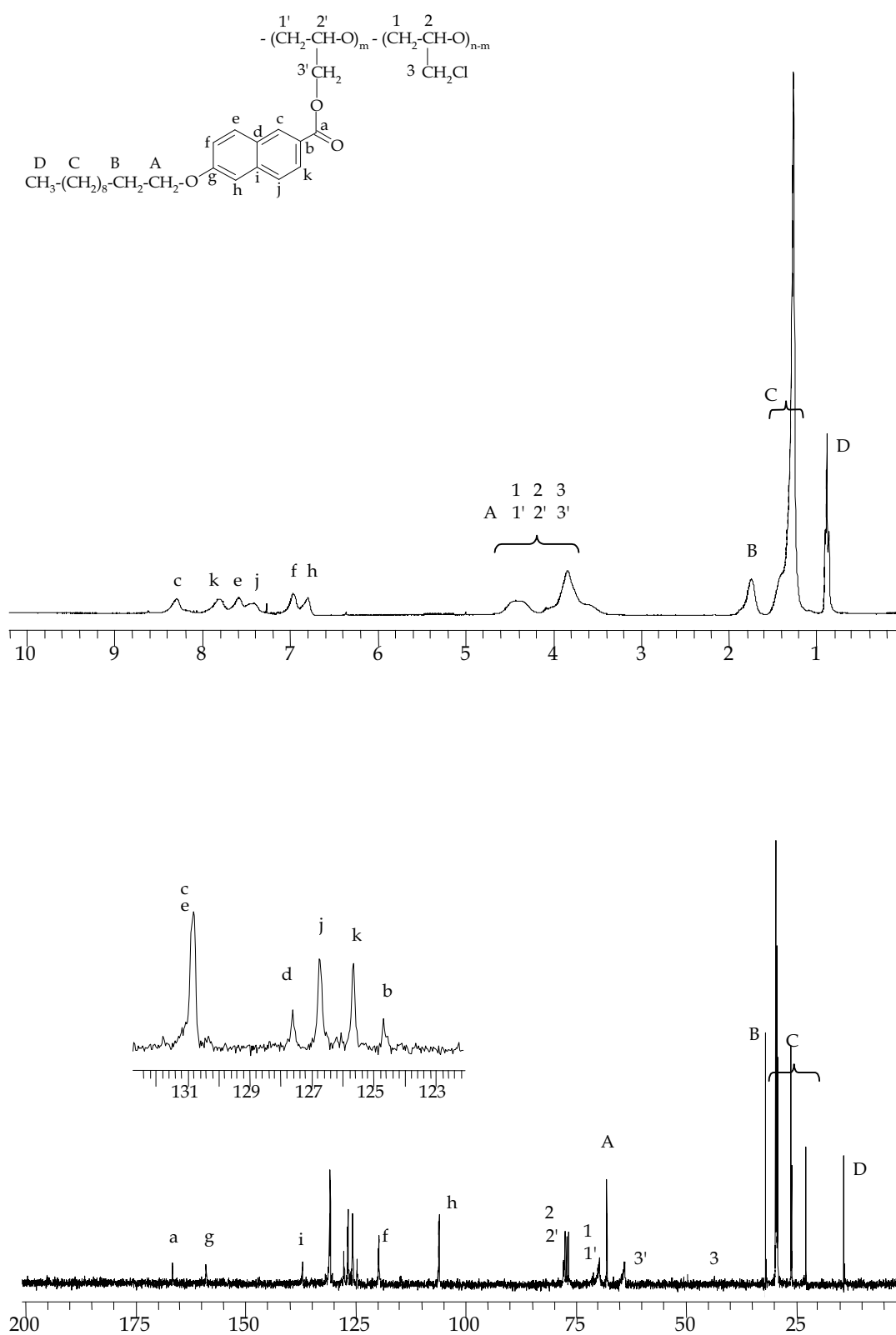


Figura 8.35. Espectres de RMN de ^1H i ^{13}C de la PECH modificada amb l'àcid $2b'$ en un 94% (exp. 46) en CDCl_3 .

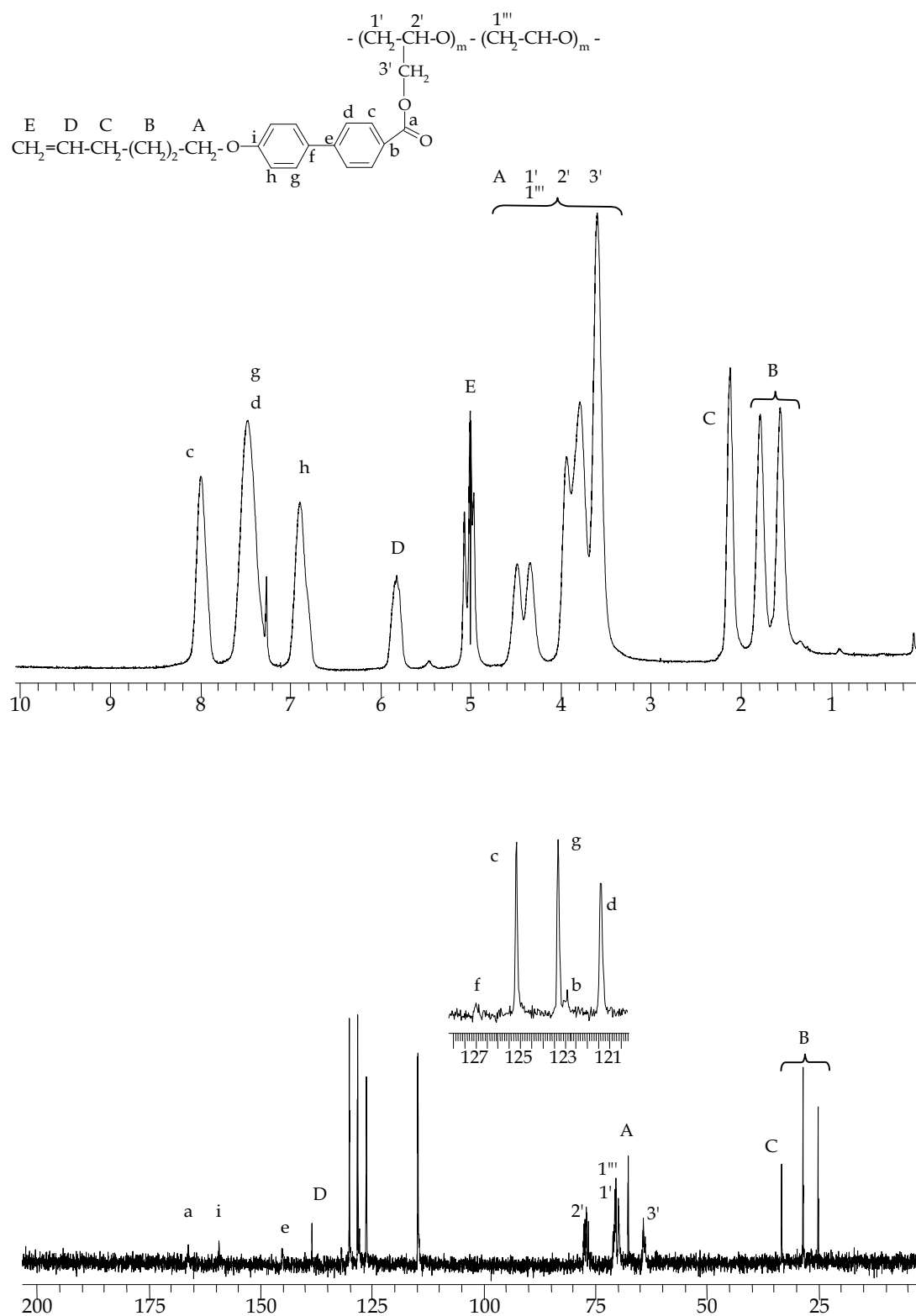


Figura 8.36. Espectres de RMN de ^1H i ^{13}C del PECH-PEO modificat amb l'àcid **1a** en un 91% (exp. 47) en CDCl_3 .

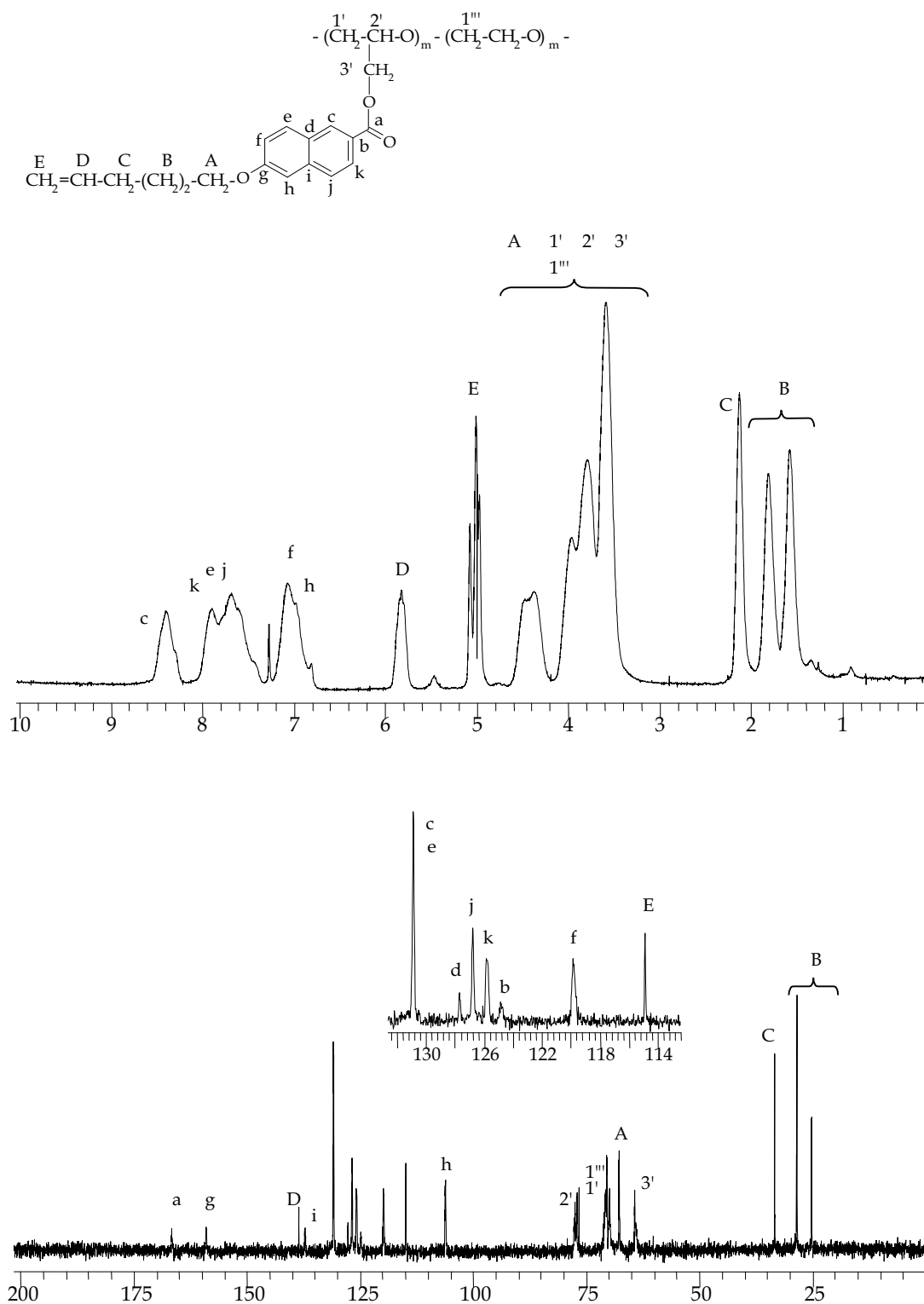


Figura 8.38. Espectres de RMN de ^1H i ^{13}C del PECH-PEO modificat amb l'àcid **2a** en un 95% (exp. 52) en CDCl_3 .

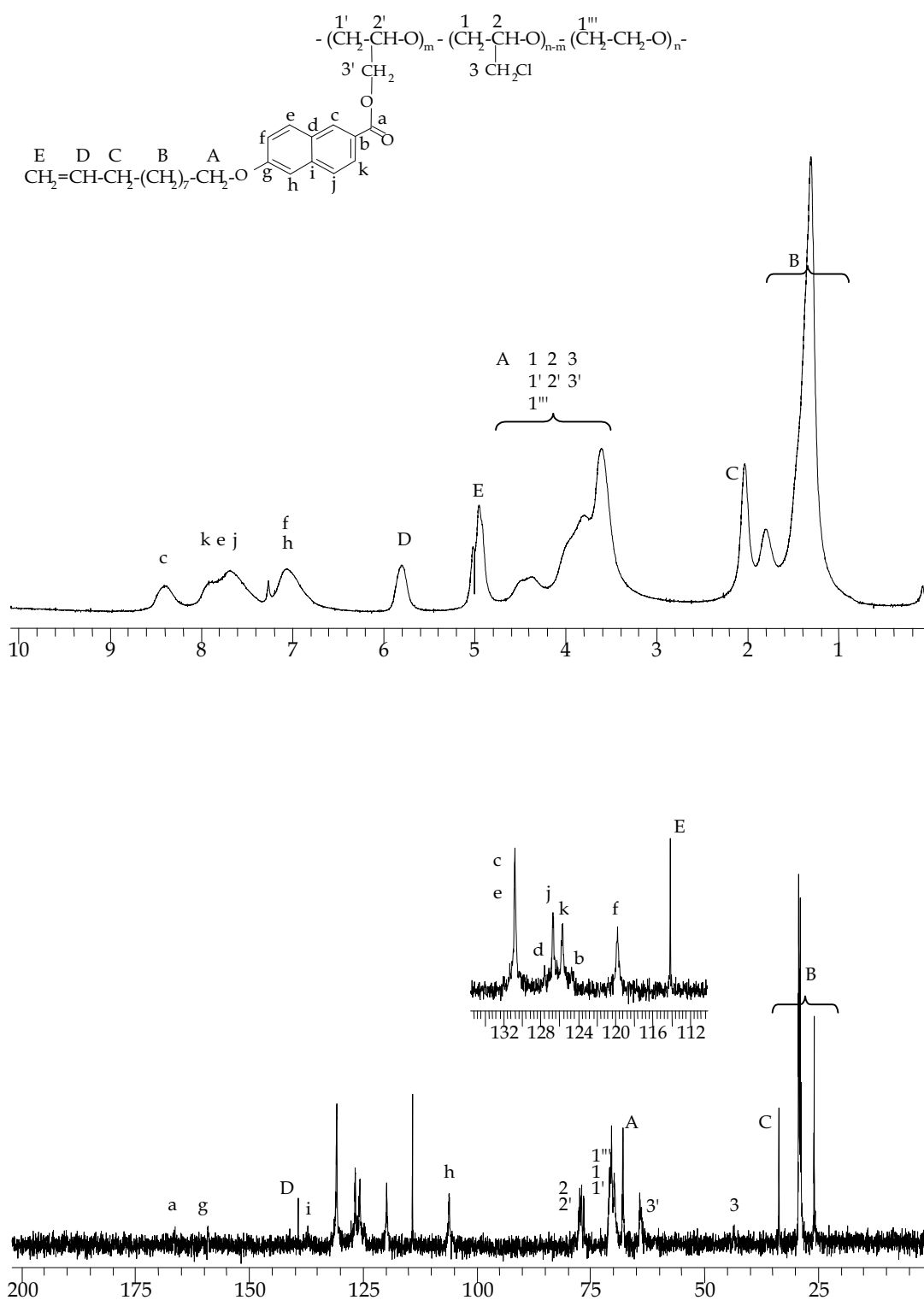


Figura 8.39. Espectres de RMN de ^1H i ^{13}C del PECH-PEO modificat amb l'àcid 2b en un 91% (exp. 53) en CDCl_3 .